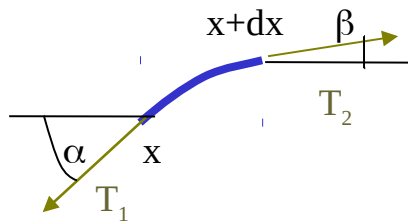
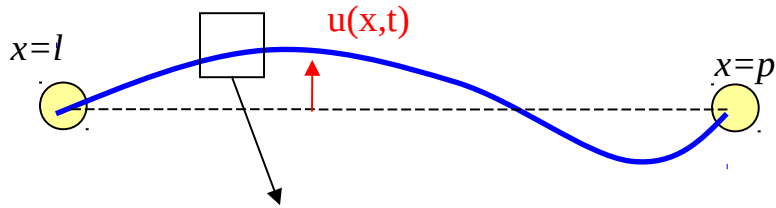


równanie falowe (dla struny), cząstkowe, hiperboliczne

[dynamika Newtonowska ośrodka ciągłego]



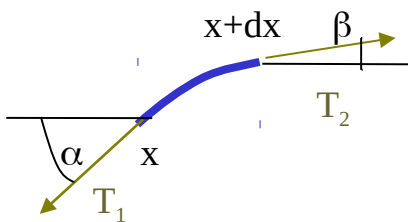
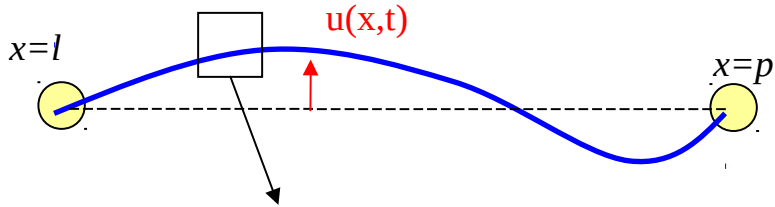
(II zasada Newtona  $F=ma$ )

$$-T_1 \sin(\alpha) + T_2 \sin(\beta) = \rho(x) dx \frac{\partial^2 u(x, t)}{\partial t^2}$$

siła naciągu struny  $T$  (kierunek poziomy):

$$T = T_1 \cos(\alpha) = T_2 \cos(\beta)$$

$$-\tan(\alpha) + \tan(\beta) = \frac{\rho(x)}{T} dx \frac{\partial^2 u(x, t)}{\partial t^2}$$



uwaga:

$$\tan(\alpha) = \left. \frac{\partial u}{\partial x} \right|_x$$

$$\tan(\beta) = \left. \frac{\partial u}{\partial x} \right|_{x+dx}$$



$$-\tan(\alpha) + \tan(\beta) = \frac{\rho(x)}{T} dx \frac{\partial^2 u(x, t)}{\partial t^2}$$

$$\frac{1}{dx} \left( \left. \frac{\partial u}{\partial x} \right|_{x+dx} - \left. \frac{\partial u}{\partial x} \right|_x \right) = \frac{\rho(x)}{T} \frac{\partial^2 u(x, t)}{\partial t^2}$$

$dx \rightarrow 0$

$$\frac{\partial^2 u}{\partial x^2} = \frac{1}{c^2} \frac{\partial^2 u}{\partial t^2}$$

$$c(x) = \sqrt{\frac{T}{\rho(x)}}$$

(prędkość rozchodzenia się drgań)

$$\frac{\partial^2 u}{\partial t^2} = c^2 \frac{\partial^2 u}{\partial x^2}$$

---

$c$  – stałe: Ogólne rozwiązanie dla nieskończonego ośrodka (d'Alamberta)

$$\left( \frac{\partial}{\partial t} + c \frac{\partial}{\partial x} \right) \left( \frac{\partial}{\partial t} - c \frac{\partial}{\partial x} \right) u(x, t) = 0$$

$$u(x, t) = f(x \pm ct) \rightarrow$$

dowolna funkcja  
drżania rozchodzące się bez zmiany kształtu  
[brak dyspersji w równaniu falowym]

---

$$\frac{\partial^2 u}{\partial t^2} = c^2 \frac{\partial^2 u}{\partial x^2}$$

$$\frac{\partial^2 v}{\partial t^2} = c^2 \frac{\partial^2 v}{\partial x^2}$$

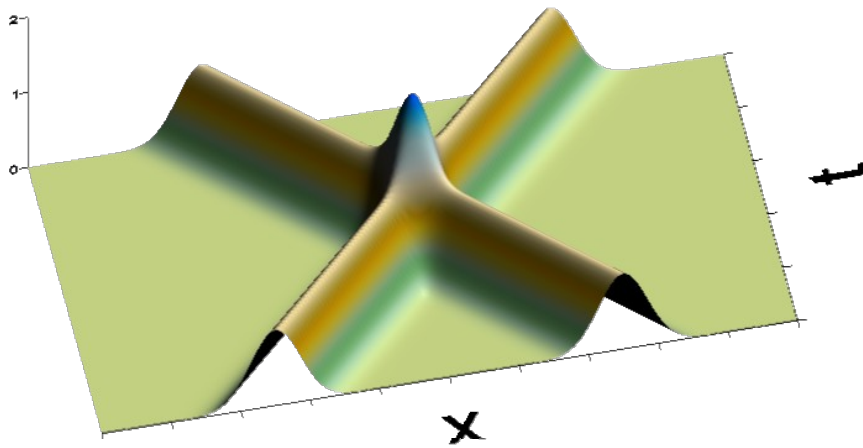
Liniowość równania:

$$\frac{\partial^2 (u + v)}{\partial t^2} = c^2 \frac{\partial^2 (u + v)}{\partial x^2}$$

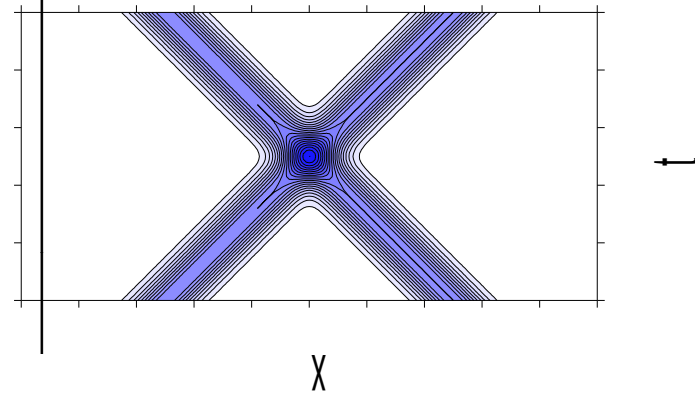
Zasada superpozycji.

## Liniowość równania i zasada superpozycji:

Sygnały rozchodzą się niezależnie od siebie



$$F = \exp(-(x-0.5+ct)^2) + \exp(-(x+0.5-ct)^2)$$



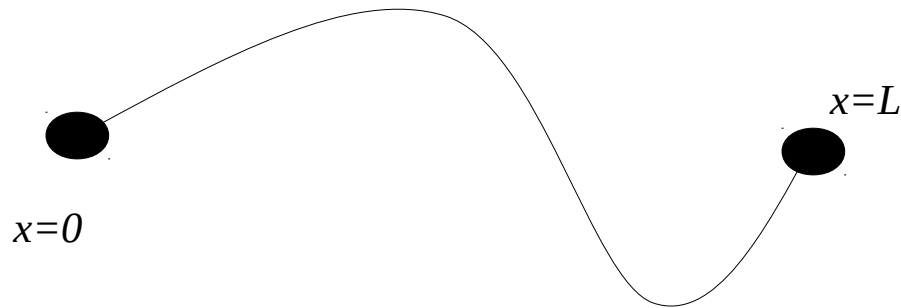
Sygnały mijają się bez zmiany kształtu [(jedna fala przenika drugą.)]

ponieważ równanie liniowe: jeśli wskażemy bazę zupełną funkcji ze znaną ewolucją czasową = problem rozwiązany  
baza: mody normalne (fale stojące) (drgania własne)

## baza: mody normalne (fale stojące) (drżania własne)

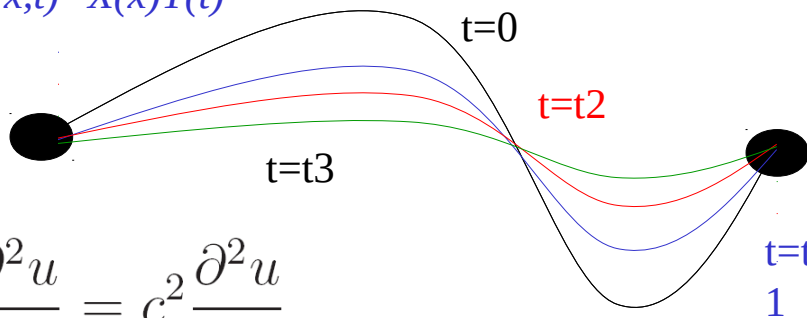
Dwupunktowe warunki brzegowe

$$u(0,t)=u(L,t)=0$$



Poszukajmy rozwiązań, w których tylko amplituda (a nie kształt fali) nie zależy od czasu:

$$u(x,t)=X(x)T(t)$$



$$\frac{\partial^2 u}{\partial t^2} = c^2 \frac{\partial^2 u}{\partial x^2}$$

$$\frac{1}{T(t)} \frac{d^2 T(t)}{dt^2} = \frac{c^2}{X(x)} \frac{d^2 X(x)}{dx^2} = -\omega^2$$

$$T(t) = \cos(\omega t + \phi) =$$

$$C \cos(\omega t) + D \sin(\omega t)$$

[gdy gęstość struny zmienna  $c$  może być funkcją położenia]

## Równanie na część przestrzenną fal stojących (drania własne, drgania normalne)

$$\frac{d^2 X_n(x)}{dx^2} = -\frac{\omega_n^2}{c^2(x)} X_n(x) \quad \frac{1}{T(t)} \frac{d^2 T(t)}{dt^2} = \frac{c^2}{X(x)} \frac{d^2 X(x)}{dx^2} = -\omega^2$$

---

Dla  $c$  niezależnego od  $x$ :

$$\frac{d^2 X_n(x)}{dx^2} = -k_n^2 X_n(x)$$

$k$ -liczba falowa, wektor falowy

$k = 2\pi / \lambda$  tutaj  $\lambda$  długość fali

$k = \omega / c$

$$X_n(x) = \sin(k_n x)$$

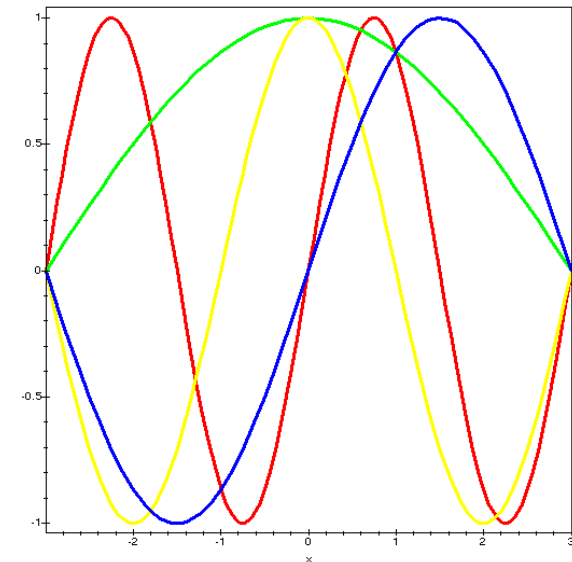
WB: spełnione, gdy  $X(0) = X(L) = 0$

$$k_n = n\pi / L$$

$$L = \frac{n}{2} \lambda_n$$

Fale stojące:

Między warunkami brzegowymi całkowita liczba połówek długości fal..



**0**

**L**

$$\frac{d^2 X_n(x)}{dx^2} = -k_n^2 X_n(x) \quad \text{warunki brzegowe: kwantyzacja } k \rightarrow \text{kwantyzacja } \omega$$

$$\frac{1}{T(t)} \frac{d^2 T(t)}{dt^2} = \frac{c^2}{X(x)} \frac{d^2 X(x)}{dx^2} = -\omega^2$$

$$X_n(x) = \sin(k_n x), \quad T_n = \sin(\omega_n t)$$

$$c = \sqrt{T / \rho}$$

$$k_n = n\pi / L$$

$$k = \omega / c \longrightarrow \omega_n = ck_n$$

$T$  oznacza napięcie struny

przestrzenne drgania własne nie zależą od  $c$ ,  
ale częstości tak.



Wiemy, że niższe tony  
dają struny o większej grubości [  $\rho$  ].

Wiemy również, że  
im silniej struna naciągnięta tym  
wyższy dźwięk.

## Drgania własne dla zmiennej gęstości struny

$$\frac{d^2 X_n(x)}{dx^2} = -\frac{\omega_n^2}{c^2(x)} X_n(x)$$

W przypadku ogólnym [ $c=c(x)$ ] przyda się rachunek numeryczny. Wyliczyć  $X_n$  oraz  $\omega_n$

$$c(x) = \sqrt{T_0/\rho(x)}$$

$$\frac{d^2 X_n(x)}{dx^2} = -\rho(x) \frac{\omega_n^2}{T_0} X_n(x)$$

$\rho(x)$



Dyskretyzujemy drugą pochodną, liczymy  $X_n(x+dx)$

$$X_n(x + \Delta x) = -\Delta x^2 \rho(x) \frac{\omega_n^2}{T_0} X_n(x) - X_n(x - \Delta x) + 2X_n(x)$$

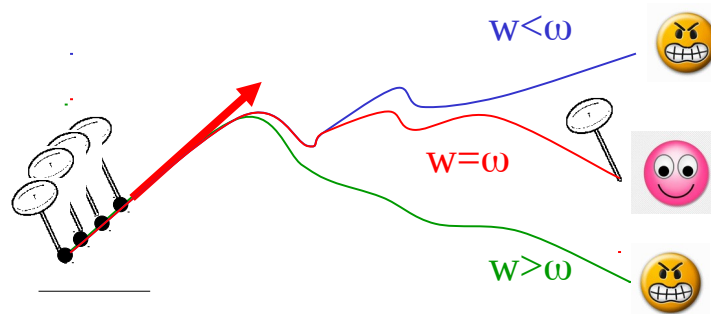


## Równanie własne z warunkami brzegowymi: Metoda strzałów.

$$X_n(x + \Delta x) = -\Delta x^2 \rho(x) \frac{\omega_n^2}{T_0} X_n(x) - X_n(x - \Delta x) + 2X_n(x)$$

$w$  – parametr równania

$\omega$  - dokładna wartość własna



---

w  $X_0$  wstawić warunek brzegowy, ale co wstawić w  $X_1$  ??

dla drgań własnych wstawiamy w  $X_1$  cokolwiek

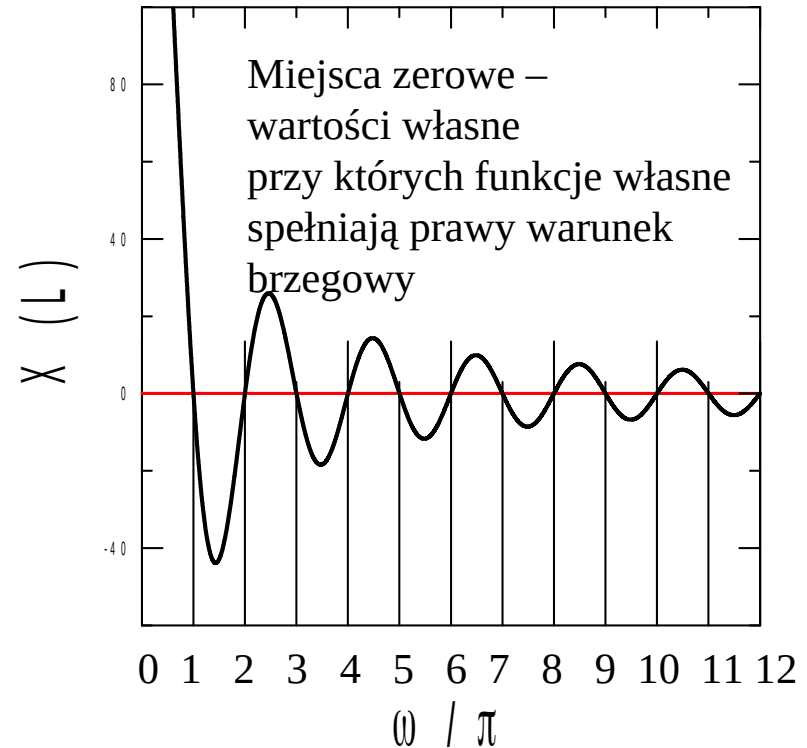
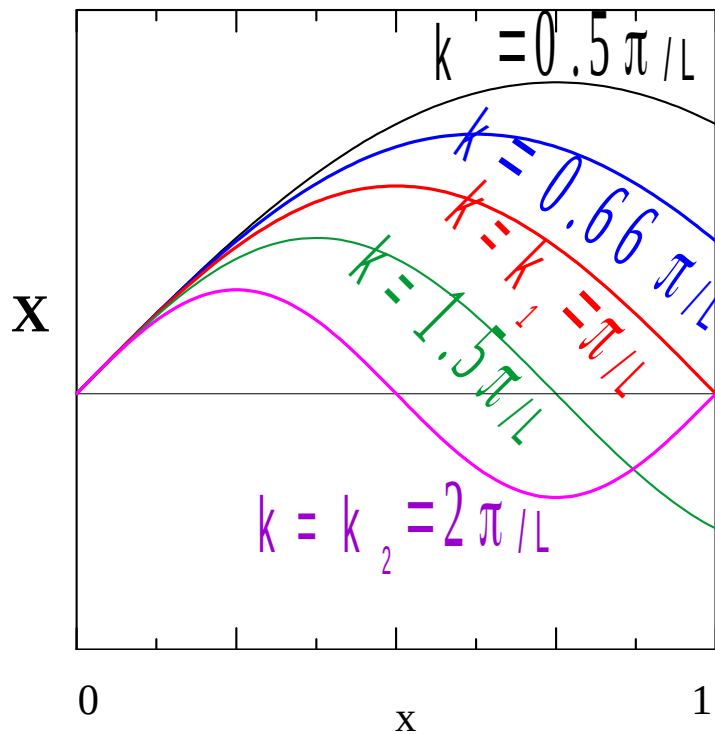
Funkcje własne określone co do stałej normalizacyjnej.

(zmieni się tylko normalizacja, równanie własne = jednorodne)

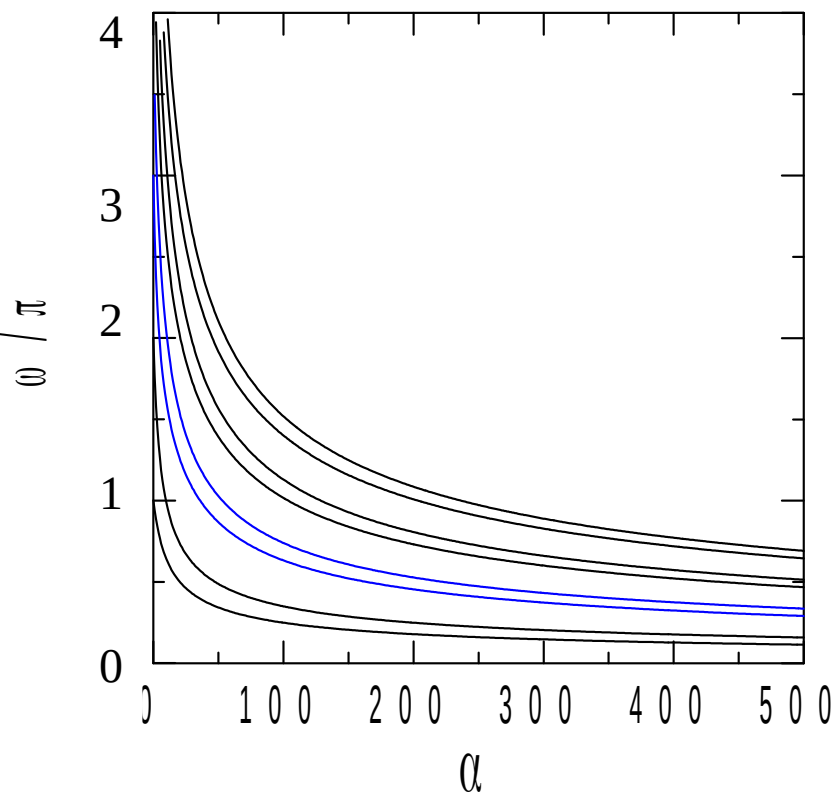
Test metody dla  $\rho(x)=1$   
 ( $L=1, T_0=1$ )

$$g(x) = \rho(x) \frac{\omega^2}{T_0}$$

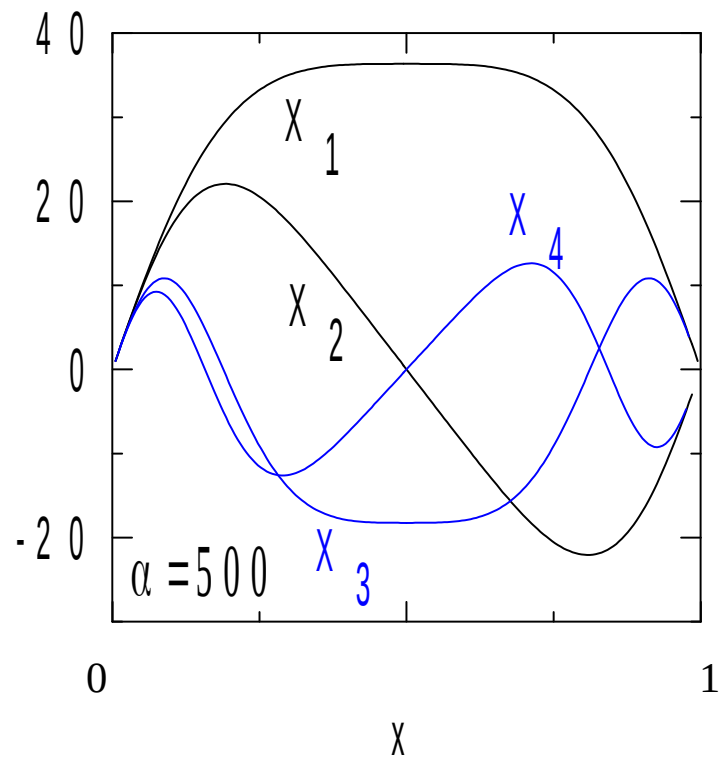
Analityczne:  $k_n = n\pi / L$



Przykład:  $\rho(x)=1+4\alpha(x-1/2)^2$  (struna cięższa przy mocowaniach)



$\alpha=0$  – częstotliwości własne równoodległe  
 Częstotliwości własne maleją z  $\alpha$  (cięższa struna)  
 duże  $\alpha$  – częstotliwości grupują się w pary



W każdej parze: funkcja parzysta i nieparzysta.  
 Środek struny – prawie nieważki,  
 na częstotliwości wpływ ma kształt funkcji przy brzegach – a tam zbliżony dla każdej funkcji z pary

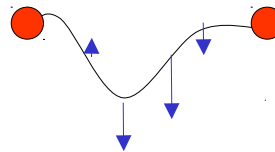
## Drgania własne a ogólne rozwiązania równania falowego

Równanie ogólne:

$$\frac{\partial^2 u}{\partial t^2} = c^2 \frac{\partial^2 u}{\partial x^2}$$

Warunki początkowe:

$u(x, t=0)$  oraz  $v(x, t=0) = du/dt$



Zadać wychylenie  
i prędkości

rozłożyć warunki początkowe na drgania własne  
problem zależności czasowych jest rozwiązany

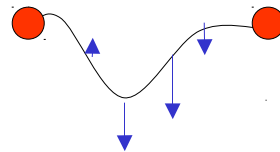
## Drgania normalne a ogólne rozwiązania równania falowego

Równanie ogólne:

$$\frac{\partial^2 u}{\partial t^2} = c^2 \frac{\partial^2 u}{\partial x^2}$$

Warunki początkowe:

$$u(x, t=0) \text{ oraz } v(x, t=0) = du/dt$$



Zadać wychylenie  
i prędkości

rozłożyć warunki początkowe na drgania własne  
problem zależności czasowych jest rozwiązany

$$u(x, t) = \sum_{n=1}^{\infty} c_n \sin(k_n x) \cos(\omega_n t) + \sum_{n=1}^{\infty} s_n \sin(k_n x) \sin(\omega_n t)$$

$$v(x, t) = \frac{\partial u(x, t)}{\partial t} = - \sum_{n=1}^{\infty} c_n \omega_n \sin(k_n x) \sin(\omega_n t) + \sum_{n=1}^{\infty} s_n \omega_n \sin(k_n x) \cos(\omega_n t)$$

w chwili  $t=0$ , za kształt struny odpowiadają współczynniki  $c_n$   
a za prędkość – współczynniki  $s_n$

Superpozycja drgań własnych:

$$u(x, t) = \sum_{n=1}^{\infty} c_n \sin(k_n x) \cos(\omega_n t) + \sum_{n=1}^{\infty} s_n \sin(k_n x) \sin(\omega_n t)$$

Warunki początkowe  $u(x, t = 0) = g(x)$

$$\frac{du(x, t = 0)}{dt} = h(x)$$

$$g(x) = \sum_{n=1}^{\infty} c_n \sin(k_n x)$$

$$\longrightarrow \int_0^L \sin(k_m x) dx \times$$

$$h(x) = \sum_{n=1}^{\infty} s_n \omega_n \sin(k_n x)$$



$$c_n = \frac{2}{L} \int_0^L g(x) \sin(k_n x) dx$$

$$s_n = \frac{2}{L\omega_n} \int_0^L h(x) \sin(k_n x) dx$$

$$\int_0^L \sin\left(\frac{n\pi x}{L}\right) \sin\left(\frac{m\pi x}{L}\right) dx = \frac{L}{2} \delta_{nm}$$

dla drgań własnych jednorodnej struny:  
Dyskretna sinusowa transformata Fouriera

## rozkład na mody normalne

$$g(x) = \sum_{n=1}^{\infty} c_n \sin(k_n x) \quad \text{na przedziale } (0,L)$$

$$k_n = \frac{n\pi}{L}$$

$$c_n = \frac{2}{L} \int_0^L g(x) \sin(k_n x) dx$$

### Rozwinięcie w szereg Fouriera:

$g(x)$  = okresowa, odcinkowo ciągła z okresem  $T$ :

$$g(x) = \frac{a_0}{2} + \sum_{n=1}^{\infty} (a_n \cos(o_n x) + b_n \sin(o_n x)) \quad o_n = 2\frac{n\pi}{T}$$

$$a_n = \frac{2}{T} \int_0^T g(x) \cos(\omega_n x) dx$$

$$b_n = \frac{2}{T} \int_0^T g(x) \sin(\omega_n x) dx$$

Rozkład na drgania normalne a szereg Fouriera:  
drgania podległe warunkom brzegowym  $g(0)=g(L)=0$ .  
 $L$  nie ma interpretacji okresu (może być pół długości fali).

## Warunki Dirichleta zbieżności szeregu Fouriera

$$g(x) = \frac{a_0}{2} + \sum_{n=1}^{\infty} (a_n \cos(o_n x) + b_n \sin(o_n x))$$

Rozwinięcie Fouriera zbieżne w sensie jednorodnym

$$\lim_{N \rightarrow \infty} \int_I \left| g(x) - \frac{a_0}{2} - \sum_{n=1}^N (a_n \cos(o_n x) + b_n \sin(o_n x)) \right|^2 dx = 0$$

o ile  $g(x)$  1) całkowalna w kwadracie

2) odcinkowo ciągła  $\longrightarrow$  rozwinięcie Fouriera dąży do  $g(x)$  „prawie wszędzie”  
tzn poza punktami dyskretnymi punktami  
(rozwinięcie Fouriera jest wszędzie ciągłe!)

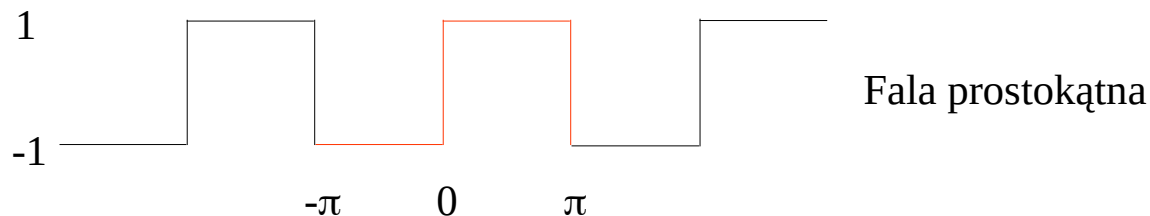
---

Twierdzenie Dirichleta: W punktach nieciągłości szereg Fouriera zbieżny  
do  $g(x) = [g(x-0) + g(x+0)] / 2$

Okazuje się, że tw. Dirichleta nie rozwiązuje wszystkich problemów



dla struny: pewien praktyczny problem z *kanciastymi* (nieróżniczkowalnymi) warunkami początkowymi.



$$g(x) = \frac{a_0}{2} + \sum_{n=1}^{\infty} (a_n \cos(\omega_n x) + b_n \sin(\omega_n x))$$

$$a_n = \frac{1}{\pi} \int_{-\pi}^{\pi} g(x) \cos(\omega_n x) dx = 0$$

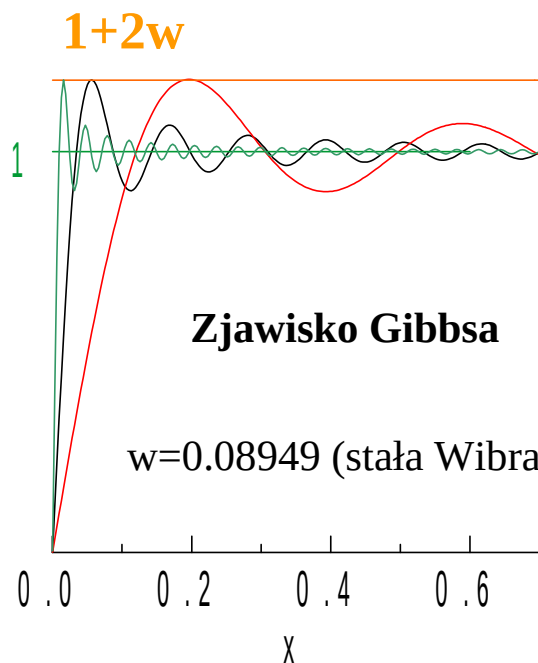
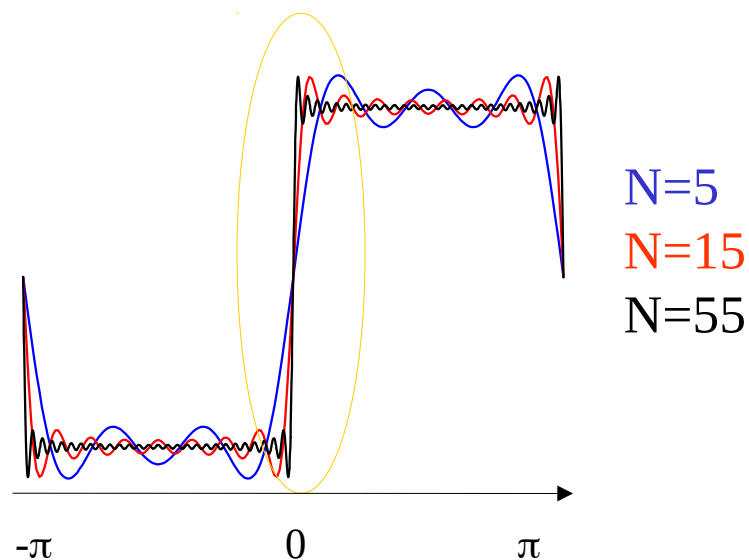
$$b_n = \frac{1}{\pi} \int_{-\pi}^{\pi} g(x) \sin(\omega_n x) dx = \begin{cases} \frac{4}{n\pi} & \text{dla } n \text{ nieparzystego} \\ 0 & \text{dla } n \text{ parzystego} \end{cases}$$

$$g(x) = \frac{4}{\pi} \left( \sin(x) + \frac{\sin(3x)}{3} + \frac{\sin(5x)}{5} + \dots \right)$$

↑  
W punkcie nieciągłości =  $[g(0^-) + g(0^+)]/2 = (-1 + 1) / 2 = 0$

$$g(x) = \frac{4}{\pi} \sum_{n=0}^N \frac{\sin((2n+1)x)}{2n+1}$$

Nad nieciągłością wartość schodka  
przestrzelona o około 18%



N=15  
N=55  
N=100

**Zjawisko Gibbsa**

w=0.08949 (stała Wibrahama-Gibbsa)

Na PC pracujemy ze skończonymi bazami:

Równania różniczkowe przez rozkład  
warunku początkowego na drgania własne  
nie rozwiążemy dokładnie, jeśli  
ten jest nieciągły.

Na PC pracujemy ze skończonymi bazami...

## Zbieżność szeregu Fouriera w sensie bezwzględnym

$$g(x) = \frac{a_0}{2} + \sum_{n=1}^{\infty} (a_n \cos(o_n x) + b_n \sin(o_n x))$$

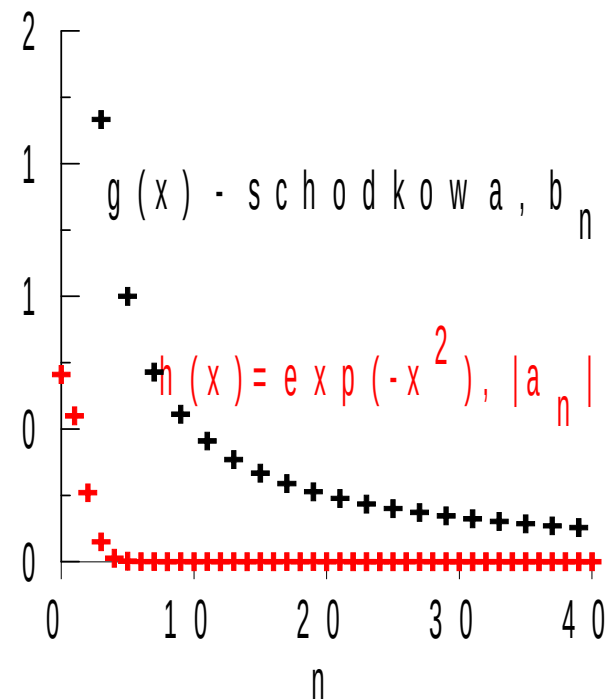
Szereg jest bezwzględnie zbieżny jeśli można go *obciąć* na pewnym wyrazie rozwinięcia:

$$\sum_{n=1}^{\infty} |a_n| + |b_n| < \infty$$

Rozwinięcie fali prostokątnej nie jest bezwzględnie zbieżne:

$$\sum_{n=1}^{\infty} \frac{1}{2n+1} = \infty \quad \text{Bo ogólny szereg } \sum_{n=1}^{\infty} \frac{1}{an+b} \text{ harmoniczny jest rozbieżny}$$

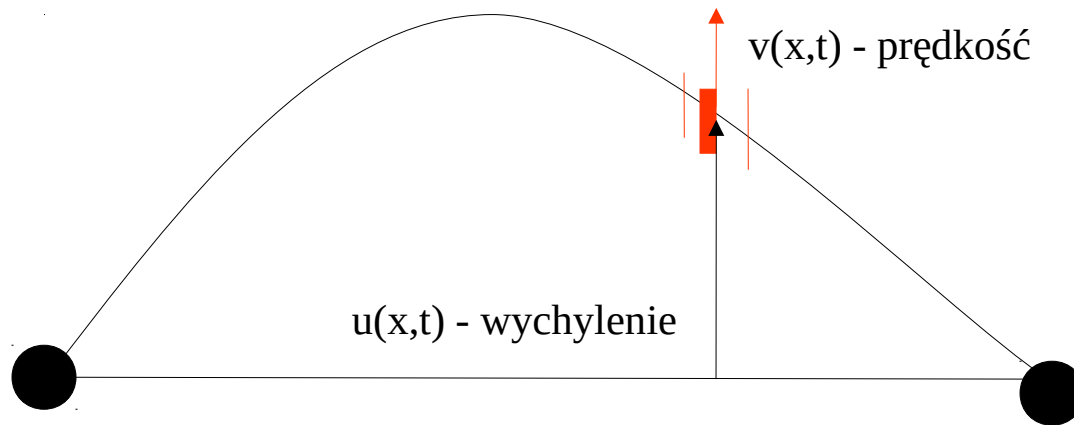
Wniosek: w skończonej bazie funkcji własnych możemy rozwiązywać tylko problemy z warunkiem początkowym, którego rozwinięcie w szereg Fouriera jest bezwzględnie zbieżne



Metoda różnic skończonych = uwalnia nas od problemu rozkładu na drgania własne

$$\frac{\partial^2 u}{\partial t^2} = c^2 \frac{\partial^2 u}{\partial x^2}$$

Rozwiązanie numeryczne: dzielimy strunę na N fragmentów,  
dla każdego z nich rozwiązujemy równania Newtona  
(zabieg odwrotny do wyprowadzenia równania różniczkowego)

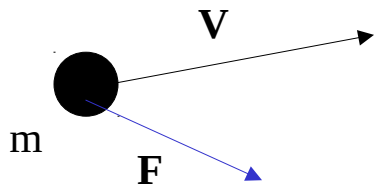


$$\mathbf{V} = \frac{d\mathbf{r}}{dt}$$
$$\mathbf{a} = \frac{d\mathbf{V}}{dt} = \frac{\mathbf{F}}{m}$$

z równania falowego:

$$a(x, t) = \frac{u(x + \Delta x, t) + u(x - \Delta x, t) - 2u(x, t)}{\Delta x^2}$$

## Schemat Verleta (popularny dla symulacji dynamiki molekularnej)



$$\mathbf{V} = \frac{d\mathbf{r}}{dt}$$
$$\mathbf{a} = \frac{d\mathbf{V}}{dt} = \frac{\mathbf{F}}{m}$$

Schemat Verleta

Phys. Rev. **159**, 98 (1967)

Pomysł: rozwinąć położenie  $\mathbf{r}$  w chwili  $t + \Delta t$  i  $t - \Delta t$  w szereg Taylora

$$\mathbf{r}(t + \Delta t) = \mathbf{r}(t) + \frac{d\mathbf{r}(t)}{dt} \Delta t + \frac{1}{2} \frac{d^2\mathbf{r}(t)}{dt^2} \Delta t^2 + \frac{1}{6} \frac{d^3\mathbf{r}(t)}{dt^3} \Delta t^3 + O(\Delta t^4)$$

$$\mathbf{r}(t + \Delta t) = \mathbf{r}(t) + \mathbf{V}(t) \Delta t + \frac{1}{2} \mathbf{a}(t) \Delta t^2 + \frac{1}{6} \frac{d^3\mathbf{r}(t)}{dt^3} \Delta t^3 + O(\Delta t^4)$$

$$\mathbf{r}(t - \Delta t) = \mathbf{r}(t) - \mathbf{V}(t) \Delta t + \frac{1}{2} \mathbf{a}(t) \Delta t^2 - \frac{1}{6} \frac{d^3\mathbf{r}(t)}{dt^3} \Delta t^3 + O(\Delta t^4)$$

$$\mathbf{r}(t + \Delta t) = 2\mathbf{r}(t) - \mathbf{r}(t - \Delta t) + \mathbf{a}(t) \Delta t^2 + O(\Delta t^4)$$

tylko o jeden rząd  
mniej dokładny niż RK4

$$\mathbf{r}(t + \Delta t) = 2\mathbf{r}(t) - \mathbf{r}(t - \Delta t) + \mathbf{a}(t)\Delta t^2 + O(\Delta t^4)$$

## Schemat położeniowy Verleta

Jeśli chodzi nam tylko o tor ruchu: świetny schemat.

Nie używa *prędkości*, ale ta często potrzebna potrzebna:

np do wyliczenia energii, ale również : sił (np. oporu, Lorentza)

jeśli siły niezależne od prędkości, a informacja o nich potrzebna jest do innych celów  
można - wykonać krok do  $t+\Delta t$ , a potem

$$\mathbf{V}(t) = \frac{\mathbf{r}(t + \Delta t) - \mathbf{r}(t - \Delta t)}{2\Delta t} + O(\Delta t^2) \longleftarrow$$

rzęd błędu wyższy,  
wciąż dokładny dla ruchu  
jednostajnie przyspieszonego  
 $a$  stałe między  $t$  a  $\Delta t$

jeśli siły zależą od prędkości: nie wykonamy kroku do  $t+\Delta t$ , możemy co najwyżej:

$$\mathbf{V}(t) = \frac{\mathbf{r}(t) - \mathbf{r}(t - \Delta t)}{\Delta t} + O(\Delta t) \quad \text{kiepsko: wynik dokładny tylko dla } a=0$$

## prędkościowa wersja schematu Verleta (dający prędkości jednocześnie z położeniami)

Położenia – poświęcamy jeden rząd dokładności:

$$\mathbf{r}(t + \Delta t) = \mathbf{r}(t) + \mathbf{V}(t)\Delta t + \frac{1}{2}\mathbf{a}(t)\Delta t^2 + O(\Delta t^3)$$

---

Potrzebny przepis na prędkość w chwili  $t + \Delta t$  z błędem  $O(\Delta t^2)$ :

Rozwinąć  $\mathbf{r}$  w Taylora względem punktu  $t + \Delta t$ :

$$\mathbf{r}(t) = \mathbf{r}(t + \Delta t) - \mathbf{V}(t + \Delta t)\Delta t + \frac{1}{2}\mathbf{a}(t + \Delta t)\Delta t^2 + O(\Delta t^3)$$

Dodać stronami:

$$\mathbf{V}(t + \Delta t) = \mathbf{V}(t) + \frac{\Delta t}{2}(\mathbf{a}(t + \Delta t) + \mathbf{a}(t)) + O(\Delta t^2)$$

---

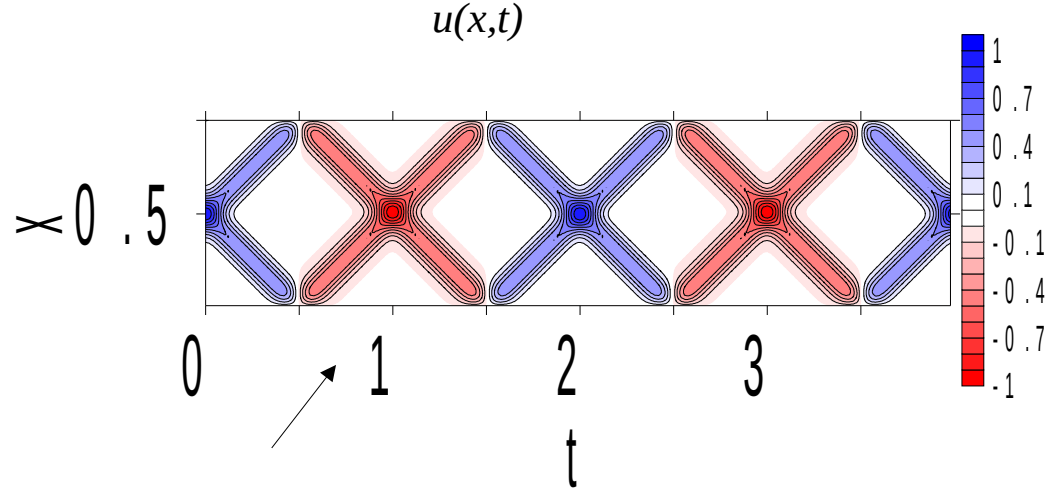
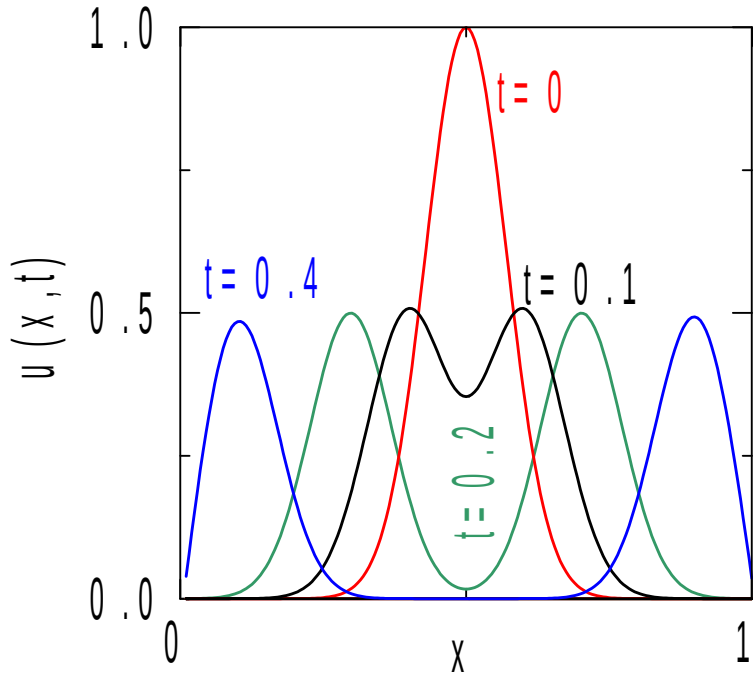
Wzory podkreślone na czerwono – Verlet prędkościowy.

# Rozwiązania numeryczne 1. (laboratorium)

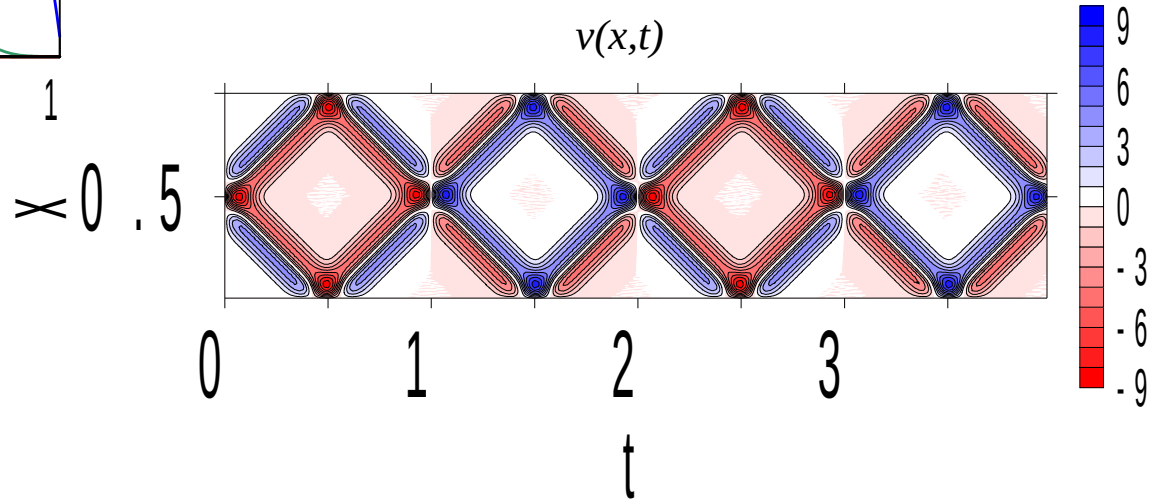
$L=1$

$$u(x,t=0)=\exp[-100(x-0.5)^2]$$

$$v(x,t=0)=0$$



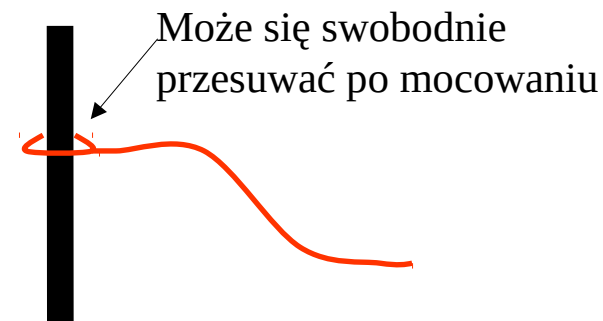
Odbicie ze zmianą fazy (idzie górą, wraca dołem)





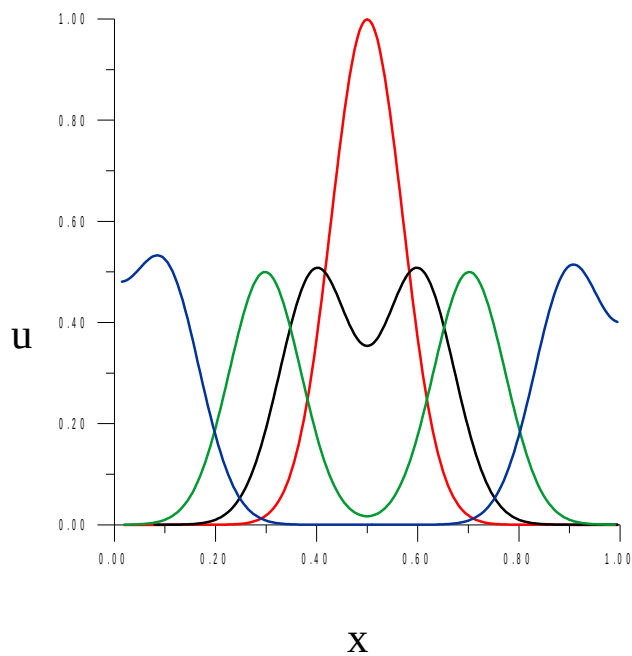
## Rozwiązanie numeryczne 2.

Swobodne warunki brzegowe:  
na brzegach na strunę nie działa żadna siła pionowa:

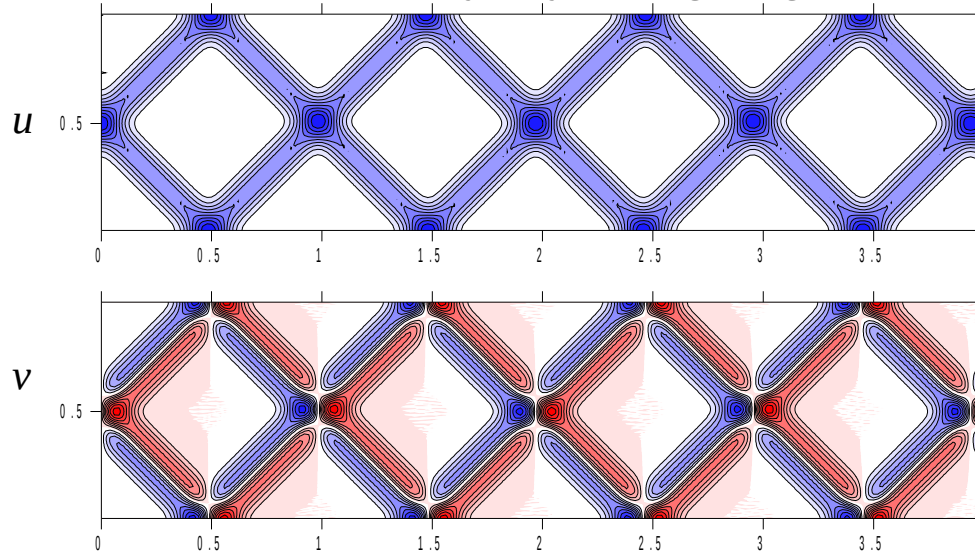


Warunek brzegowy  
Neumana (na pochodną)  
zamiast Dirichleta  
(na wartość funkcji)

$$\left. \frac{\partial u}{\partial x} \right|_{(x=0,t)} = 0$$



Odbicie bez zmiany fazy: idzie górą, górą wraca



## energia drgania:

$$dE = \frac{1}{2}\rho(x)dxv^2(x, t) + \frac{1}{2}T_0dx \left( \frac{\partial u}{\partial x} \right)^2$$

kinetyczna

Potencjalna: odkształcenie struny

Dla  $\rho(x)=\rho$

$$E = \frac{1}{2}\rho \int_0^L v^2(x, t)dx + \frac{1}{2}T_0 \int_0^L \left( \frac{\partial u}{\partial x} \right)^2 dx$$

Dla pojedynczego modu własnego

$$u(x, t) = \sin(k_n x) \sin(\omega_n t)$$

$$E = \frac{\omega_n^2}{2}\rho \cos^2(\omega_n t) \int_0^L \sin^2(k_n x)dx + \frac{k_n^2}{2}T_0 \sin^2(\omega_n t) \int_0^L \cos^2(k_n x)dx$$

$$E = \frac{\omega_n^2}{2}\rho \cos^2(\omega_n t) \frac{L}{2} + \frac{k_n^2}{2}T_0 \sin^2(\omega_n t) \frac{L}{2}$$

$$\begin{array}{l} \omega = kc \\ T_0 = \rho c^2 \end{array}$$

$$E = \frac{L}{4}(kc)^2 \rho (\cos^2(\omega_n t) + \sin^2(\omega_n t)) \leftarrow \text{Kinetyczna na potencjalną się zmienia, całkowita zachowana}$$

## Analiza chwilowa drgania

$$u(x, t) = \sum_{n=1}^{\infty} c_n \sin(k_n x) \cos(\omega_n t) + \sum_{n=1}^{\infty} s_n \sin(k_n x) \sin(\omega_n t)$$

- 1) Można prześledzić zależności *czasowe* i z nich wydobyć częstotści własne
- 2) Co jeśli drgania są np. gasnące? Jeśli sens ma tylko częstotć przestrzenna, a nie czasowa?
- 3) Analiza chwilowa drgania na podstawie wychylenia zależności położeniowych = wychylenia  $g(x)$  i prędkości  $h(x)$  w *danej chwili*.

$$c_n = \frac{2}{L} \int_0^L g(x) \sin(k_n x) dx$$

$$s_n = \frac{2}{L\omega_n} \int_0^L h(x) \sin(k_n x) dx$$

# Równanie fali tłumionej

$$\frac{\partial^2 u}{\partial t^2} = c^2 \frac{\partial^2 u}{\partial x^2} - 2a \frac{du}{dt} \quad \begin{array}{l} a > 0 = \text{stała tłumienia} \\ c \text{ niezależna od położenia} \end{array}$$

Opory związane z prędkością struny [np. powietrza]

Warunki brzegowe  $u(x=0,t)=u(x=L,t)=0$

Warunki początkowe  $u(x,t)$  oraz  $v(x,t)$ .

Mody normalne dla fali tłumionej:

Poszukajmy rozwiązania metodą separacji zmiennych  $u(x,t)=X(x)T(t)$

$$XT'' = c^2 X''T - 2aT'X / : XT$$

$$\frac{T''}{T} + \frac{2aT'}{T} = \frac{c^2 X''}{X} = -\omega^2$$

Część przestrzenna bez zmian!

$$X_n(x) = \sin(k_n x)$$

$$k_n = n\pi / L$$

$$k = \omega / c$$

Część przestrzenna: 
$$\frac{T''}{T} + \frac{2aT'}{T} = -\omega_n^2 = -\left(\frac{n\pi c}{L}\right)^2$$

$$T'' + 2aT' + \omega_n^2 T = 0$$

rozwiązujemy dla  $T = \exp(rt)$ , równanie charakterystyczne:  $\exp(rt) [r^2 + 2ar + \omega_n^2] = 0$ ,

szukamy rozwiązań na  $r$

możliwe przypadki: 2 pierwiastki rzeczywiste, jeden podwójny, obydwa zespolone

Warunki początkowe:  $T'(t = 0) = 0$  Struna spoczywa w chwili początkowej

$T(t = 0) = 1$  Rozwiązanie określone co do stałej multiplikatywnej (równanie jednorodne)

$$T_n(t) = \begin{cases} \omega_n < a : \exp(-at) \left[ \cosh\left(\sqrt{a^2 - \omega_n^2}t\right) + \frac{a}{\sqrt{a^2 - \omega_n^2}} \sinh\left(\sqrt{a^2 - \omega_n^2}t\right) \right] \\ \omega_n = a : \exp(-at) [1 + at] \\ \omega_n > a : \exp(-at) \left[ \cos\left(\sqrt{\omega_n^2 - a^2}t\right) + \frac{a}{\sqrt{\omega_n^2 - a^2}} \sin\left(\sqrt{\omega_n^2 - a^2}t\right) \right] \end{cases}$$

$$T_n(t) = \begin{cases} \omega_n < a : & \exp(-at) \left[ \cosh(\sqrt{a^2 - \omega_n^2}t) + \frac{a}{\sqrt{a^2 - \omega_n^2}} \sinh(\sqrt{a^2 - \omega_n^2}t) \right] \\ \omega_n = a : & \exp(-at) [1 + at] \\ \omega_n > a : & \exp(-at) \left[ \cos(\sqrt{\omega_n^2 - a^2}t) + \frac{a}{\sqrt{\omega_n^2 - a^2}} \sin(\sqrt{\omega_n^2 - a^2}t) \right] \end{cases}$$

$$\omega_n = n\pi / L$$

$$L=1, c=1, \omega_n = n\pi$$

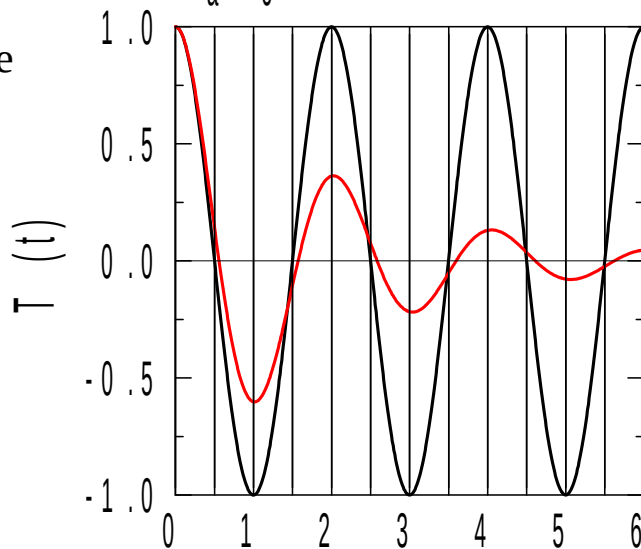
$L$

Słabe tłumienie  $a < \omega_1$

$$a = 0.5$$

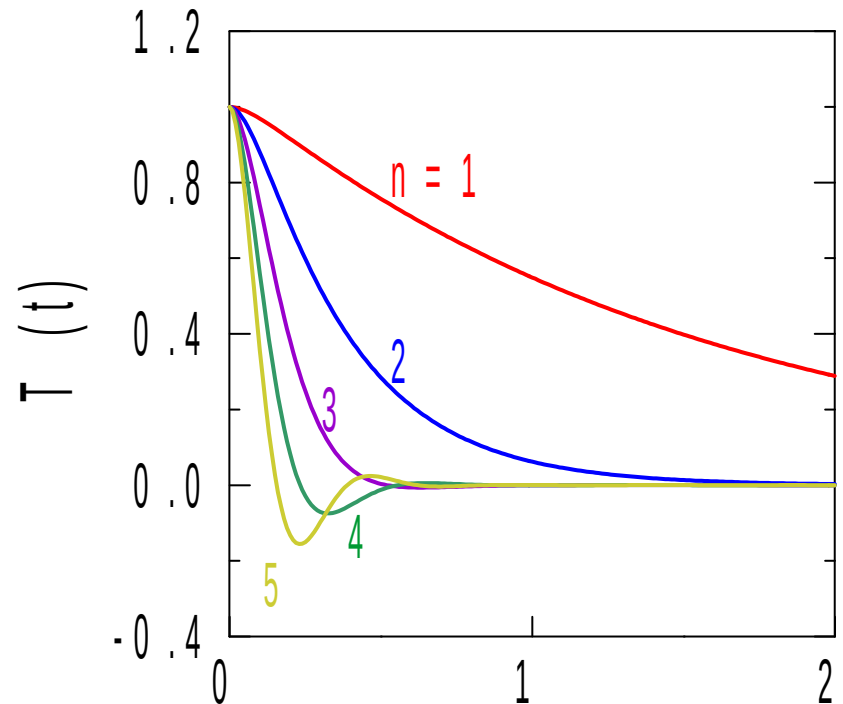
$$a = 0$$

Drganie  
z  $\omega_1$



Poza zanikiem drgania  
widzimy zmniejszenie częstości

$a=8$ ,  $\omega_1$  i  $\omega_2$  = „przetłumione”  
pozostałe „tłumione”



Najpierw zgasną wyższe tłumienia

## Rozwiązanie równania fali tłumionej

$$\frac{\partial^2 u}{\partial t^2} = c^2 \frac{\partial^2 u}{\partial x^2} - 2a \frac{du}{dt}$$

rozwiązanie ogólne:

$$u(x, t) = \sum_{n=1}^{\infty} c_n T_n(t) \sin(k_n x)$$

---

### Położeniowa analiza Fourierowska

- rozkład na mody normalne w danej chwili :  $c_n(t)$

= część przestrzenna nie zmienia się pod wpływem tłumienia.

$$u(x, t) = \sum_{n=1}^{\infty} c_n \sin(k_n x) \cos(\omega_n t)$$

$$v(x, t) = -\omega_n \sum_{n=1}^{\infty} c_n \sin(k_n x) \sin(\omega_n t)$$

↑  
w ogólności  
zależne od czasu

$$\int_0^L u(x, t) \sin(k_n x) dx = c_n \frac{L}{2} \cos(\omega_n t)$$

$$\int_0^L v(x, t) \sin(k_n x) dx = -\omega_n c_n \frac{L}{2} \sin(\omega_n t)$$

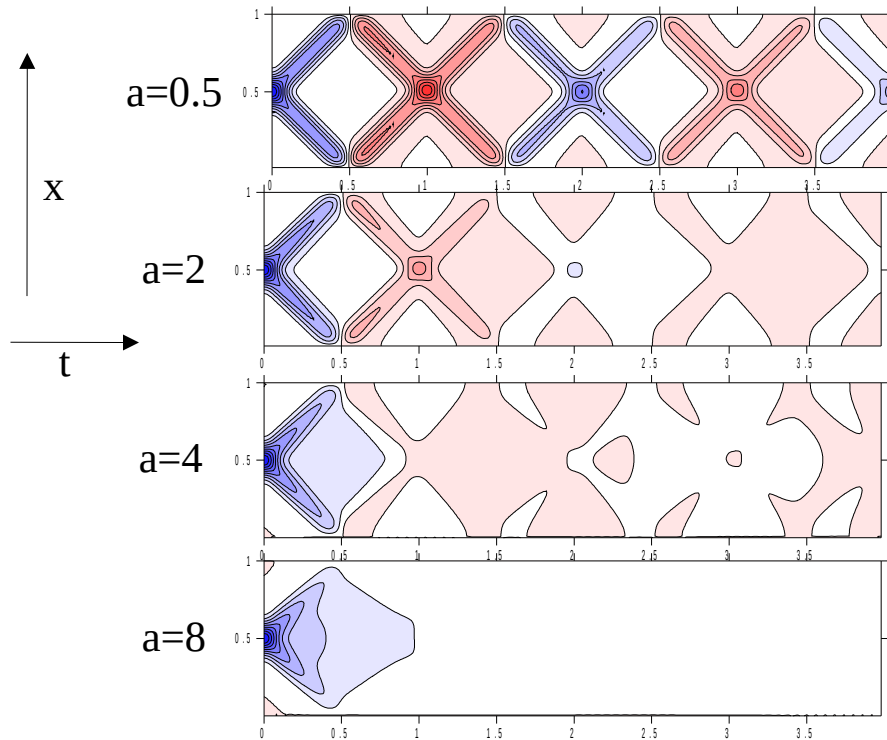
aby wydobyć  $c_n$  : drugie równanie  
wydzielimy przez  $\omega_n$ , podniesiemy  
w kwadracie i dodamy

$$c_n^2 = \left( \frac{2}{L} \int_0^L u(x, t) \sin(k_n x) dx \right)^2 + \left( \frac{2}{L\omega_n} \int_0^L v(x, t) \sin(k_n x) dx \right)^2$$

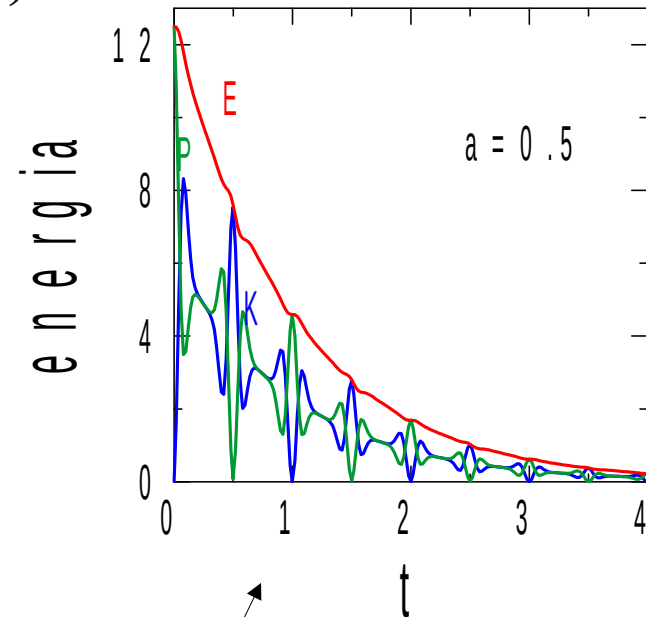
udział względny:  $r_n^2 = \frac{c_n^2}{\sum_{m=1}^{\infty} c_m^2}$

Przykład: L=1

W chwili początkowej pakiet  $f(x, t=0) = \exp(-100(x-0.5)^2)$

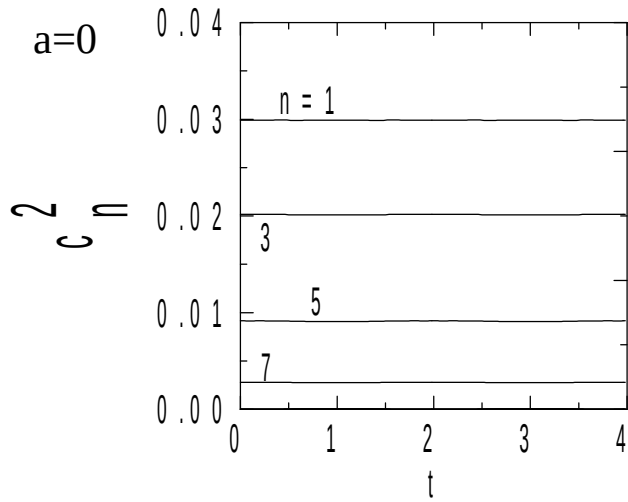


$E=K+P$  (kinetyczna+potencjalna)



Spadek  $E$  najszybszy gdy  $K$  największe

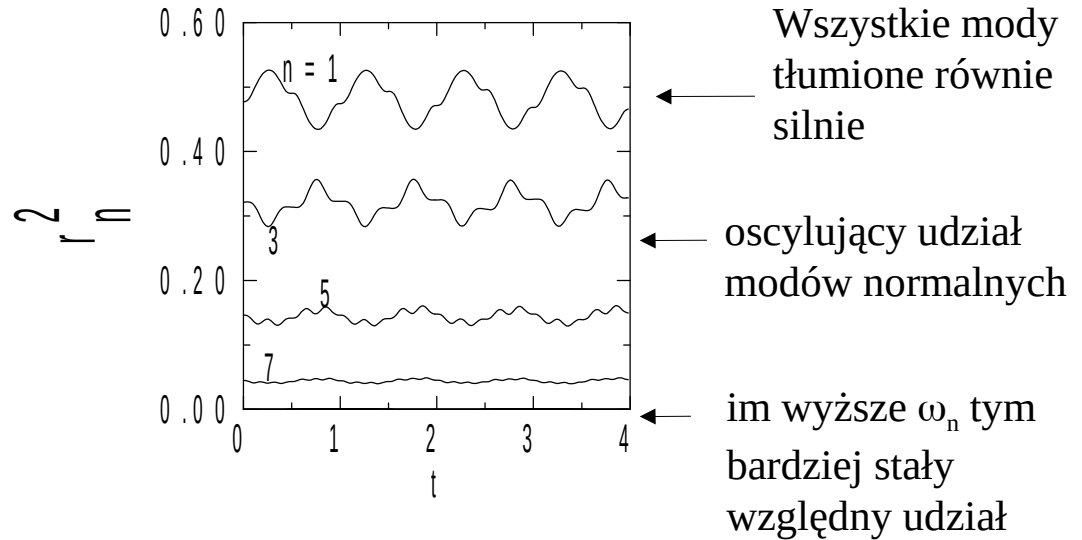
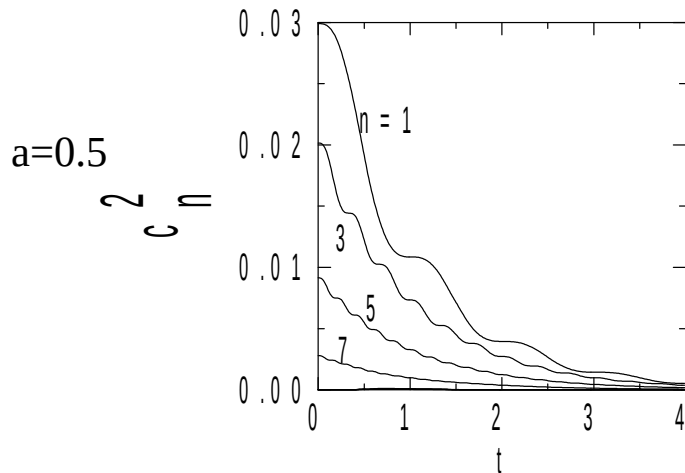


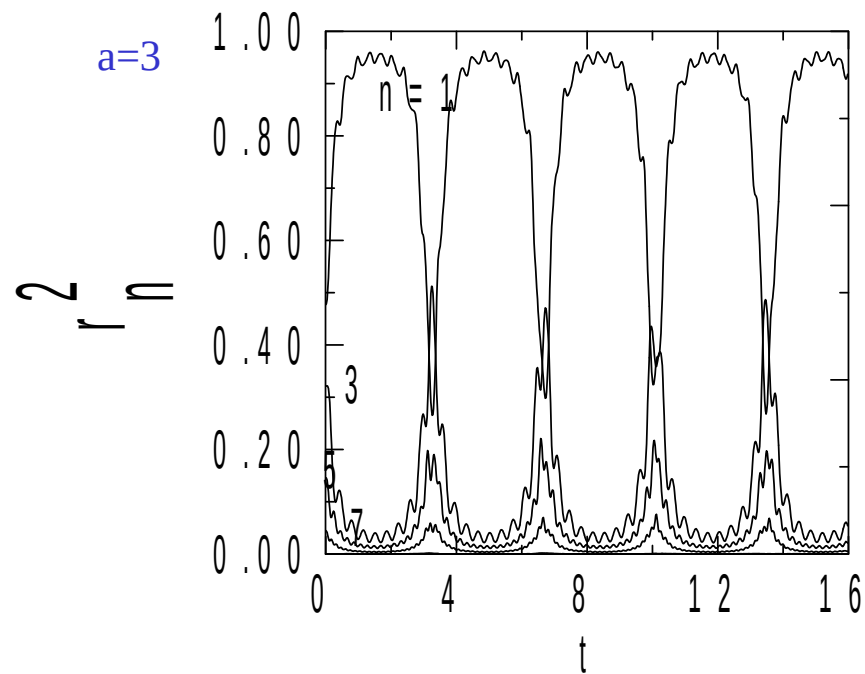
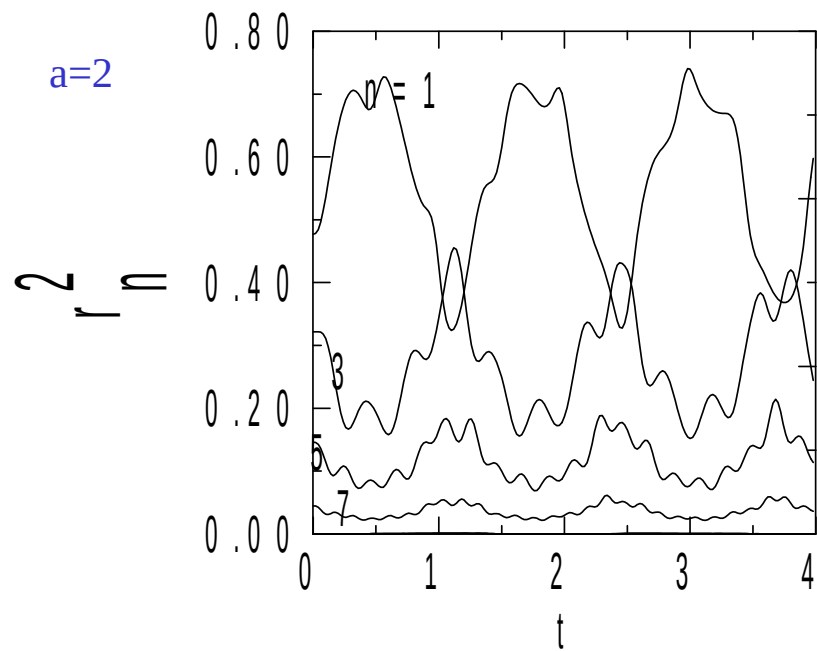


$$T_n(t) = \begin{cases} \omega_n < a : \exp(-at) \left[ \cosh(\sqrt{a^2 - \omega_n^2}t) + \frac{a}{\sqrt{a^2 - \omega_n^2}} \sinh(\sqrt{a^2 - \omega_n^2}t) \right] \\ \omega_n = a : \exp(-at) [1 + at] \\ \omega_n > a : \exp(-at) \left[ \cos(\sqrt{\omega_n^2 - a^2}t) + \frac{a}{\sqrt{\omega_n^2 - a^2}} \sin(\sqrt{\omega_n^2 - a^2}t) \right] \end{cases}$$

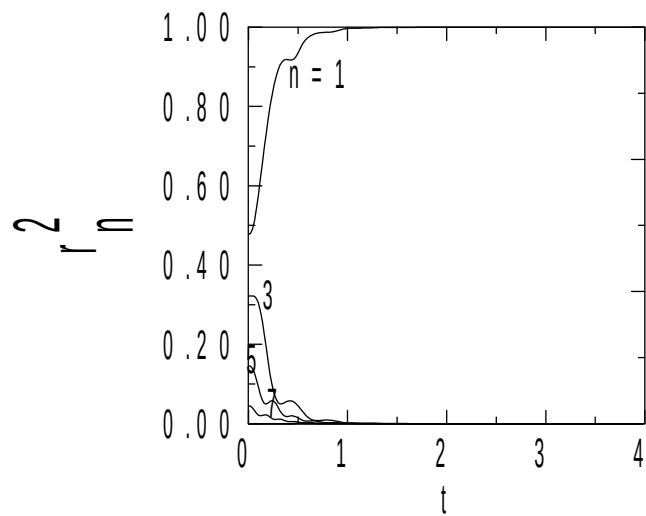
$$\omega_n = n\pi$$

Parzyste  $n$  nie wnoszą przyczynku (symetria)

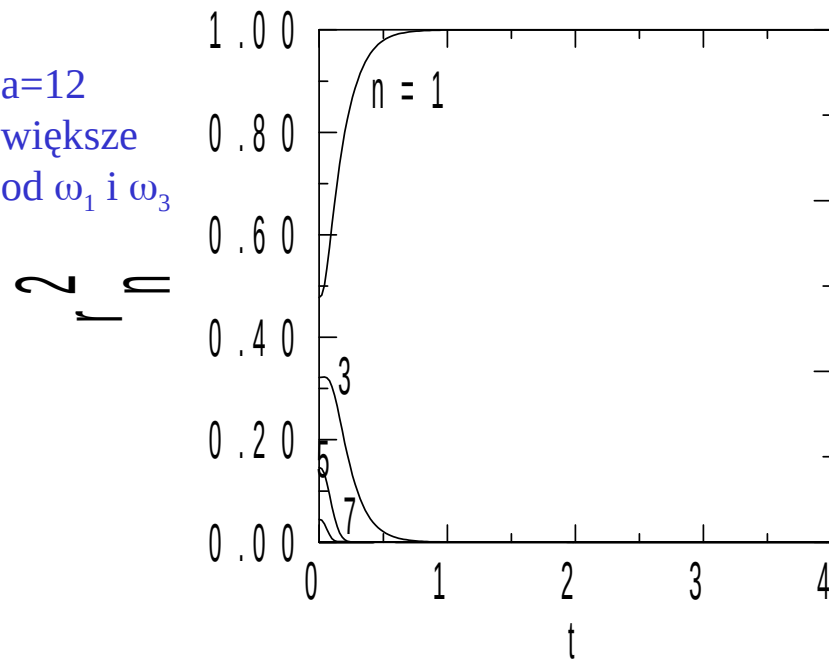




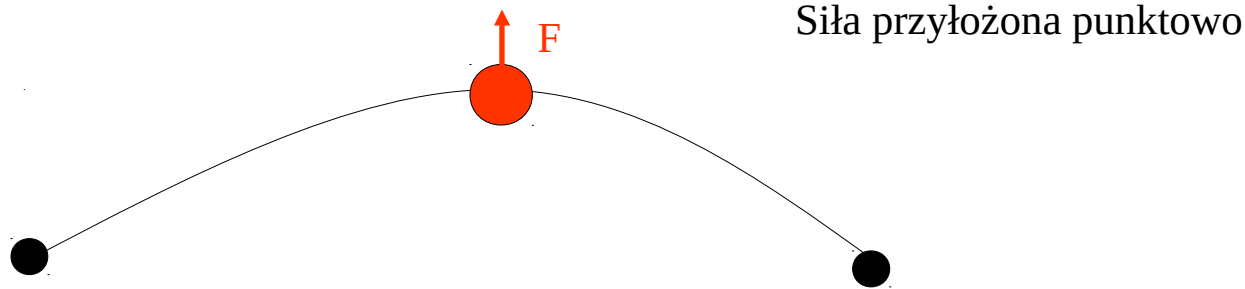
$a=4$ , większe tylko od  $\omega_1$



$a=12$   
większe  
od  $\omega_1$  i  $\omega_3$



# Laboratorium: R. hiperboliczne z niejednorodnością: Drgania tłumione z siłą wymuszającą



$$\frac{\partial^2 u}{\partial t^2} = \frac{\partial^2 u}{\partial x^2} - 2a \frac{\partial u}{\partial t} + a_F(x, t) \leftarrow \text{niejednorodność}$$

$$a_F(x, t) = \begin{cases} \cos(\omega t) & \text{dla } x = x_0 \\ 0 & \text{w pozostałych punktach} \end{cases}$$

Wymuszenie periodycznie zmienne

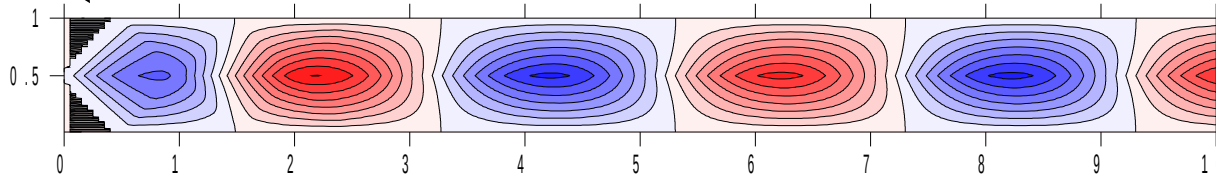
Dla  $t=0$  struna spoczywa ( $v(x,t)=0$ ) w położeniu równowagi ( $u(x,t)=0$ )

Prędkość dźwięku = 1

Siła przyłożona w środku struny  $x_0=1/2$

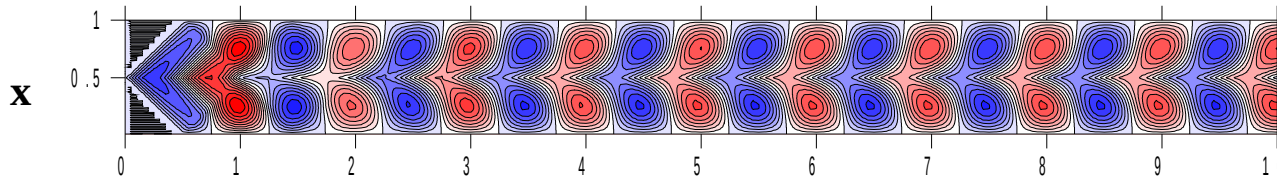
$u(x,t)$

$a=1$   
 $w=0.5\pi$

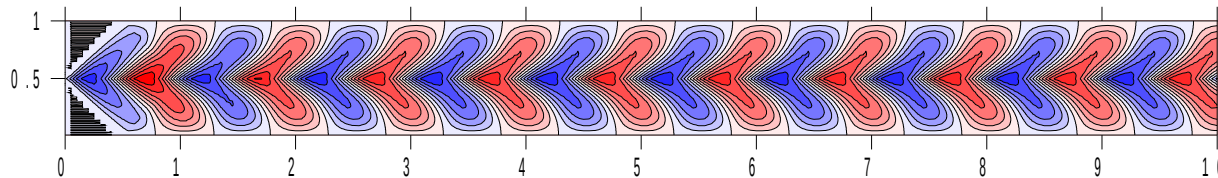


pojawia się „stan ustalony” = drgania periodyczne.

$a=1$   
 $w=2\pi$



$a=3$   
 $w=2\pi$

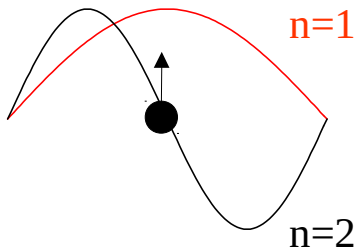


**czas**

W stanie ustalonym ruch jest periodyczny z okresem siły wymuszającej (*mode locking*).

# Stan ustalony a energia struny

Siła przyłożona w środku struny  $x_0=1/2$



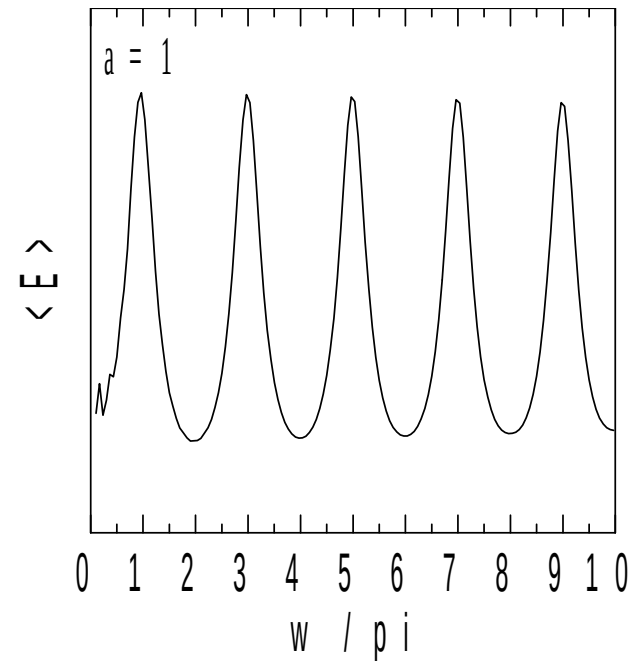
Brakuje  $w_{2n}$ ??

W środku  
studni = węzeł  
dla parzystych  $n$

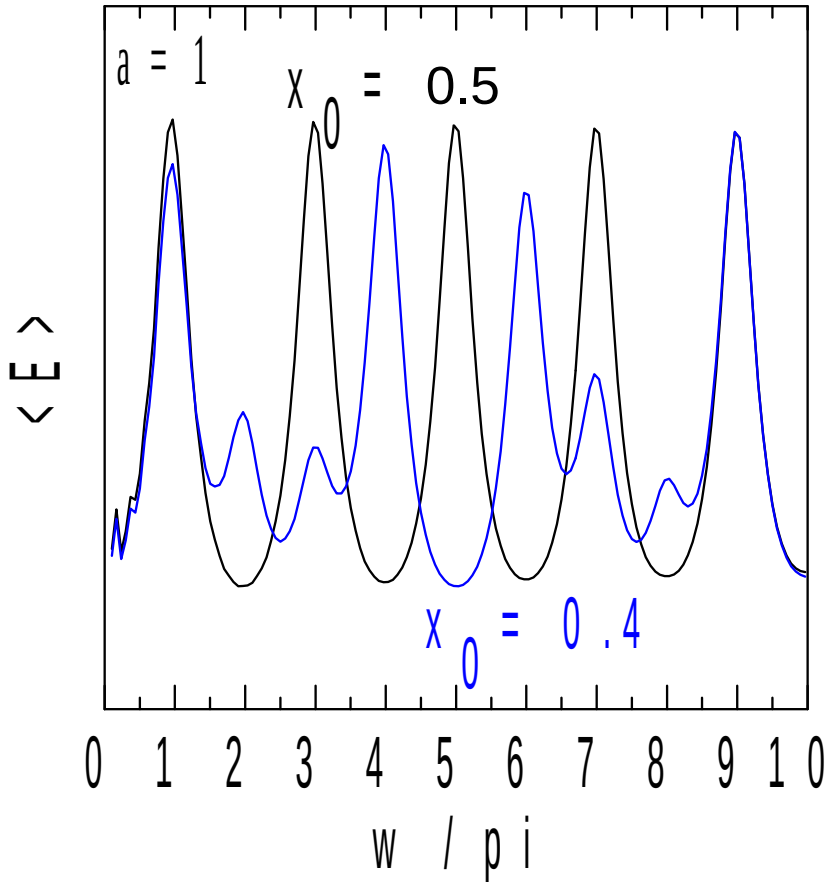
Średnia energia w stanie ustalonym:

$$\langle E \rangle = \frac{1}{t_2 - t_1} \int_{t_1}^{t_2} E(t) dt,$$

## Rezonans



Mody z parzystym  $n$  wzbudzone gdy punkt przyłożenia przesunąć ze środka



Krzywa rezonansowa w przybliżeniu opisana przez sumę funkcji Lorentza

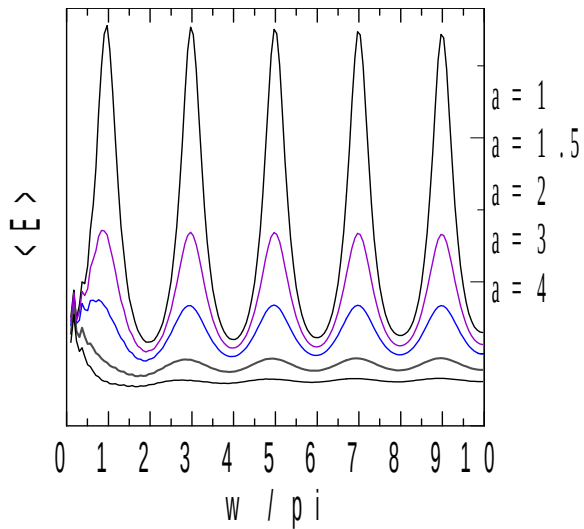
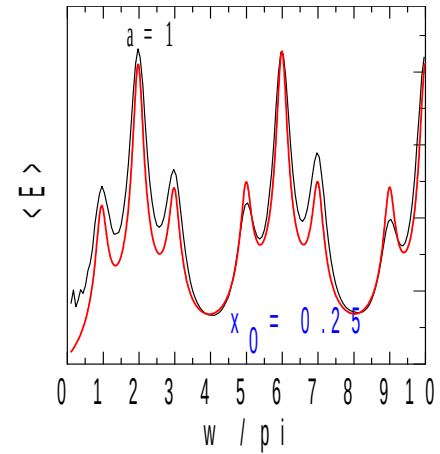
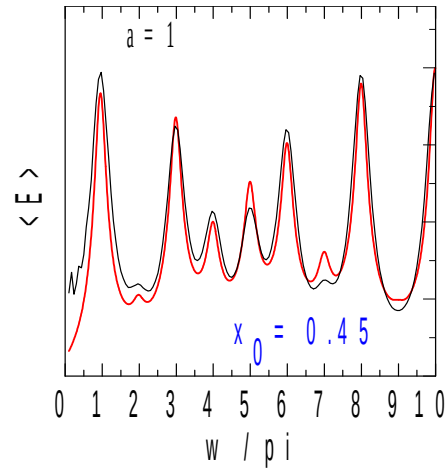
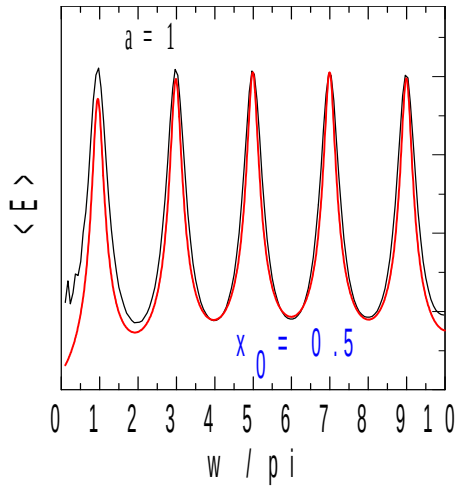
$$s(w) = \sum_{i=1}^{\infty} \frac{c_i^2}{(w - w_i)^2 + (a/2)^2}$$

$$w_i = \sqrt{\omega_i^2 - a^2}$$

Siła sprzężenia = kwadrat wartości modu normalnego w miejscu przyłożenia siły:

$$c_i^2 = \sin^2(i\pi x_0)$$

## Średnie energie stanu ustalonego a wzory lorentowskie



## Rezonans a stała tłumienia

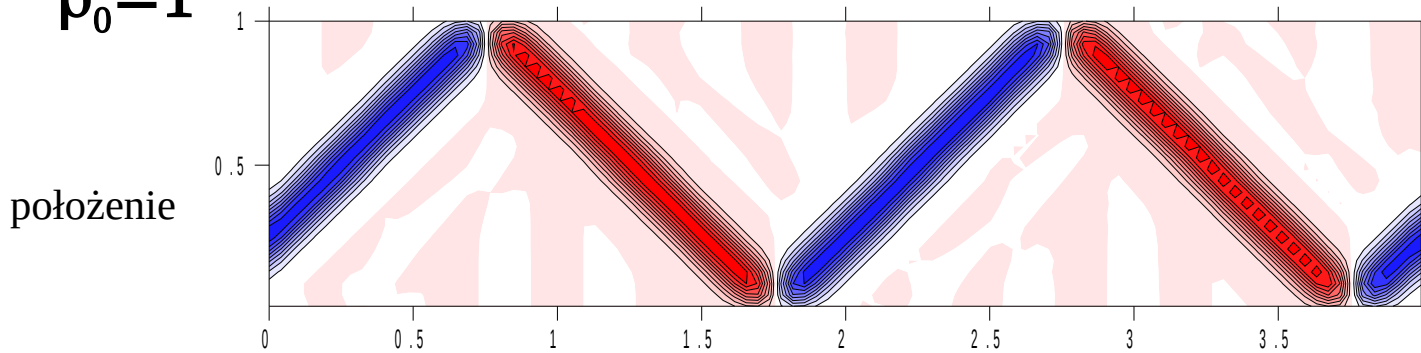
## Laboratorium 2: odbicie pakietu od granicy ośrodków

$$\frac{\partial^2 u}{\partial t^2} = \frac{1}{\rho(x)} \frac{\partial^2 u}{\partial x^2} \quad \rho(x) = \begin{cases} 1 & \text{dla } x < \frac{1}{2} \\ \rho_0 & \text{dla } x > \frac{1}{2} \end{cases}$$

$$u(x - Vt) = \exp(-100(x - Vt - 1/4)^2)$$

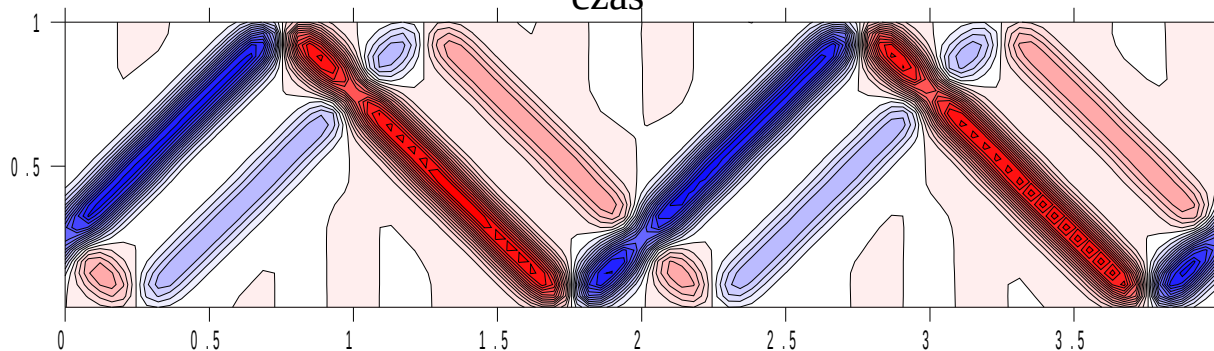
**V=1**

**$\rho_0=1$**



czas

**V=2**

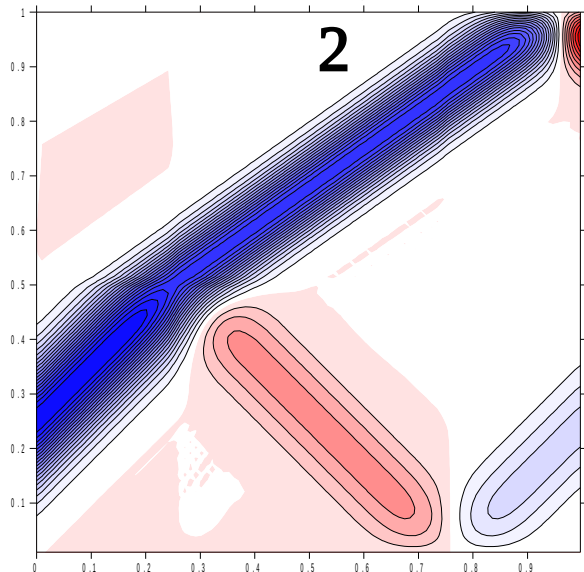




$V=1$

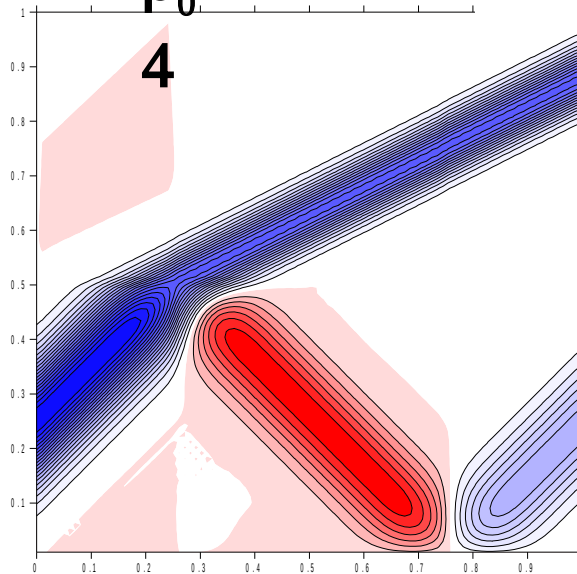
$\rho_0 =$

2



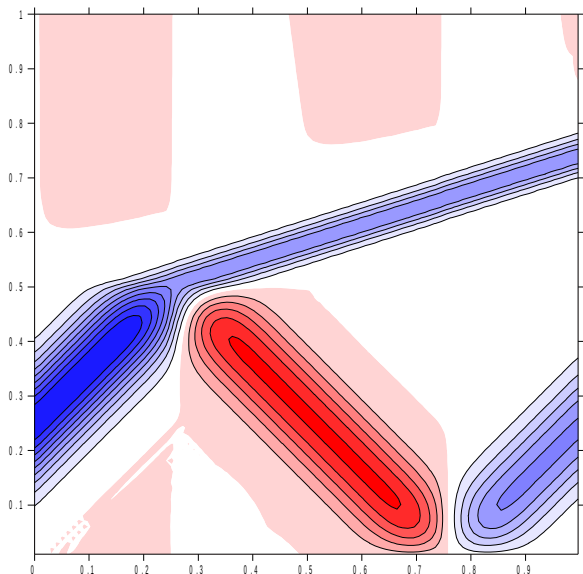
$\rho_0 =$

4

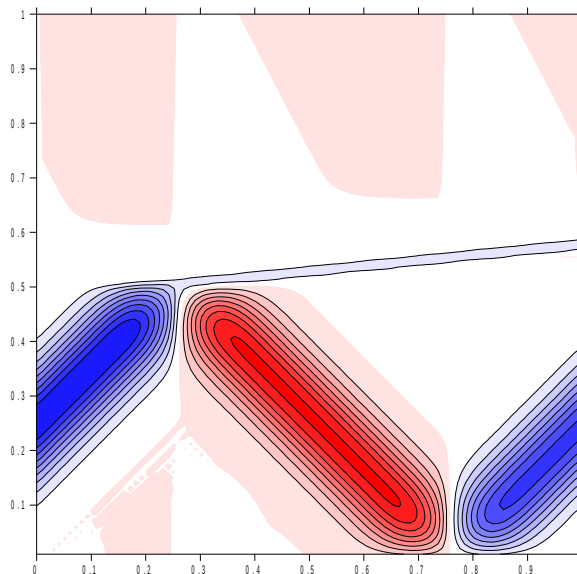


$$\rho(x) = \begin{cases} 1 & \text{dla } x < \frac{1}{2} \\ \rho_0 & \text{dla } x > \frac{1}{2} \end{cases}$$

$\rho_0 = 10$



$\rho_0 = 100$

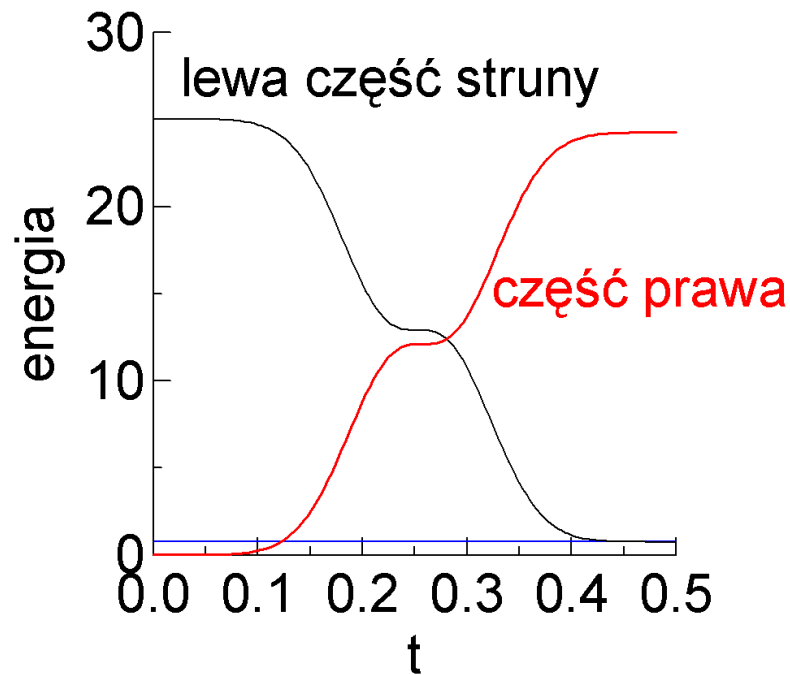


Czas

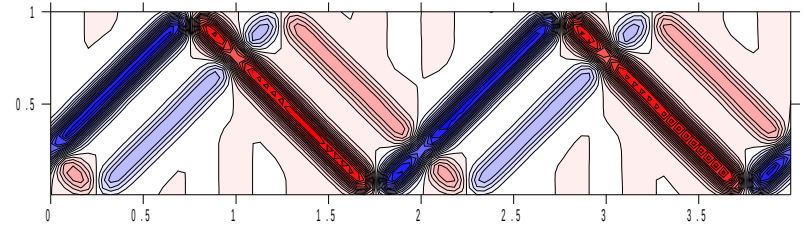
Część energii, która  
pozostaje po lżejszej stronie struny  $\rho=1$   
po odbiciu

$$\left( \frac{1 - \sqrt{\rho_0}}{1 + \sqrt{\rho_0}} \right)^2$$

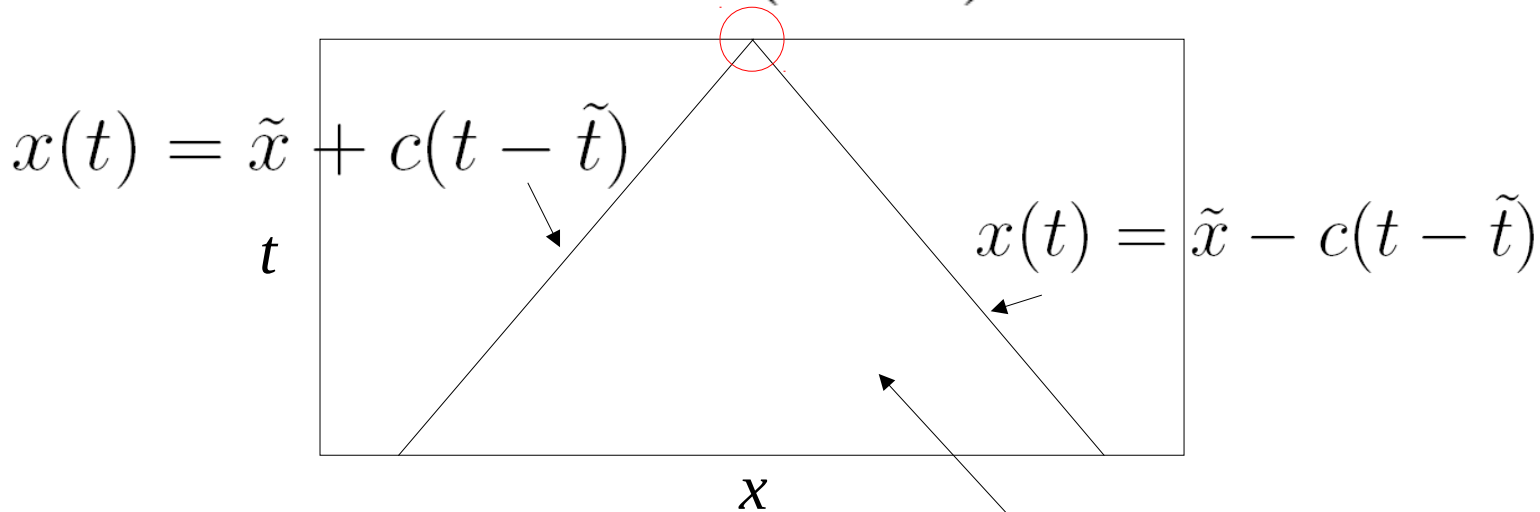
$$\rho_0 = \frac{1}{2}$$



# Domena zależności (Domain of Dependence) i kryterium stabilności CFL (Courant-Friedrichs-Lewy)



$$P(\tilde{x}, \tilde{t})$$



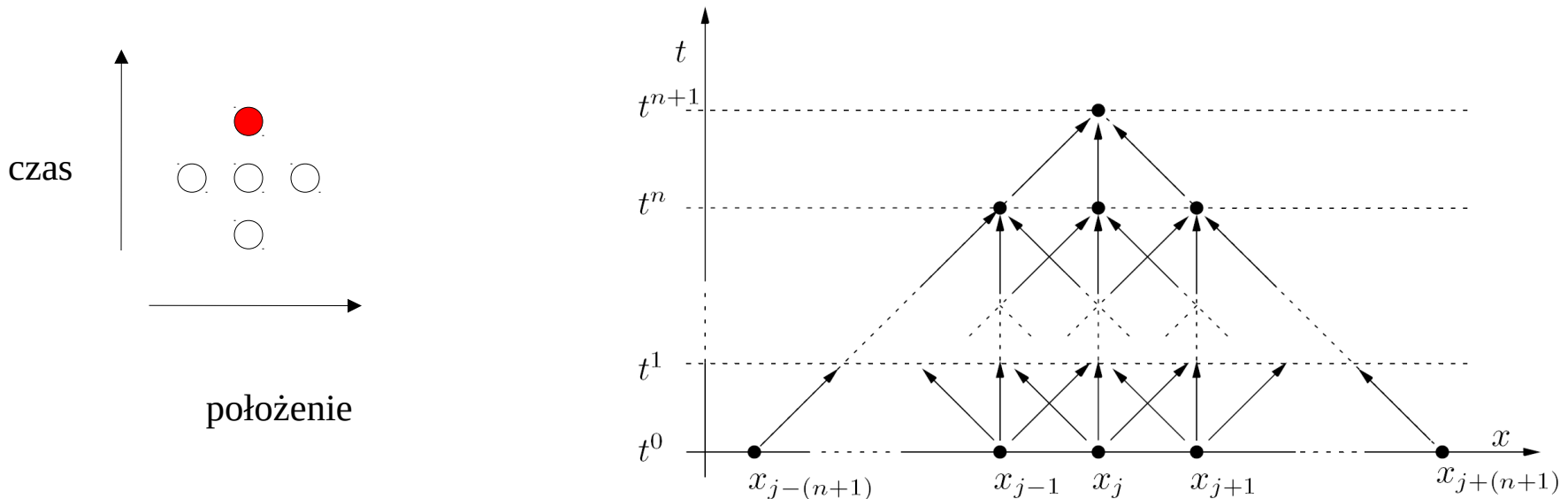
domena zależności:  
tylko zdarzenia z trójkąta ograniczonego  
charakterystykami mogą  
mieć wpływ na rozwiązanie w punkcie  $P$

$$\frac{\partial^2 u}{\partial t^2} = c^2 \frac{\partial^2 u}{\partial x^2}$$

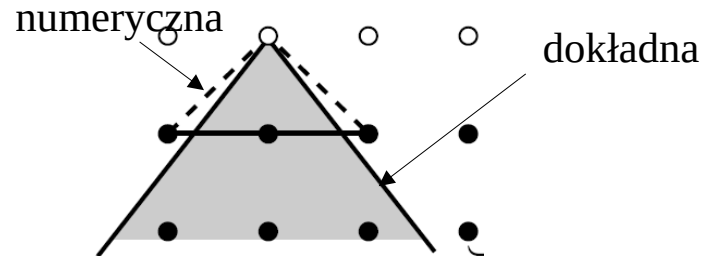
schemat żabiego skoku:

$$\frac{u(j, n+1) + u(j, n-1) - 2u(j, n)}{\Delta t^2} = c^2 \frac{u(j+1, n) + u(j-1, n) - 2u(j, n)}{\Delta x^2} + O(\Delta t^2, \Delta x^2)$$

$$u(j, n+1) = c^2 \Delta t^2 \frac{u(j+1, n) + u(j-1, n) - 2u(j, n)}{\Delta x^2} - u(j, n-1) + 2u(j, n) + O(\Delta t^4, \Delta x^2)$$



$$u(j, n+1) = c^2 \Delta t^2 \frac{u(j+1, n) + u(j-1, n) - 2u(j, n)}{\Delta x^2} - u(j, n-1) + 2u(j, n) + O(\Delta t^4, \Delta x^2)$$

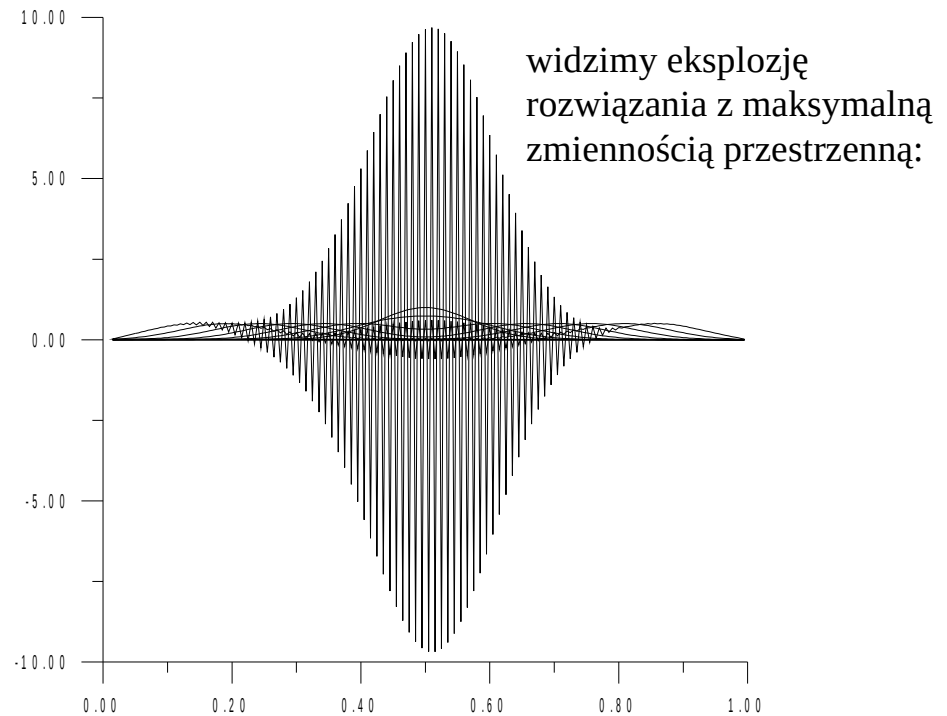


$$c \Delta t \leq \Delta x$$

aby przekroczyć kryterium CFL (prędkość dźwięku): schematy niejawne dla równań mechaniki  
standardowy schemat niejawny = schemat Newmarka

dla  $dt=dx$   
najlepszy wybór  
 $\beta=0$ ,  $\gamma=1/2$   
(jawny, Verlet)

Verlet  
dla  $dt=dx*1.01$



Newmark jest po to aby przekroczyć kryterium CFL

algorytm Newmarka (uogólnienie prędkościowego Verleta, o szerszym zastosowaniu, nie tylko dynamika molekularna, ale standardowy niejawni dla równań mechaniki)

w Verlecie prędkościowym  
używaliśmy  
przepisów:

$$u(t+dt) = u(t) + v(t)dt + dt^2/2 a(t)$$

[dla Verleta  $\gamma=1/2$ ]

$$v(t+dt) = v(t) + dt [(1-\gamma)a(t) + \gamma a(t+dt)]$$

Czyli: w Verlecie: jawna formuła na położenie, potencjalnie niejawni na prędkość  
ta nie wystarczy dla bezwzględnej stabilności przy kroku czasowym  $cdt > dx$  (zobaczymy analizę v. Neumanna)

dla Newmarka: wprowadzamy niejawność (ważenie przyspieszeń z terażniejszości i przyszłości)  
również do wzoru na położenia:

$$u(t+dt) = u(t) + v(t)dt + dt^2/2 [(1-2\beta)a(t) + 2\beta a(t+dt)]$$

Algorytm prędkościowy Newmarka

źródło: WJT DANIEL, computational mechanics **20** (1997) 272

zrobmy z tego formułę położeniową:  
wyliminowac prędkości : ↓

$$u(t+dt) = u(t) + v(t)dt + dt^2/2 [(1-2\beta)a(t) + 2\beta a(t+dt)]$$

(\*)

$$v(t+dt) = v(t) + dt [(1-\gamma)a(t) + \gamma a(t+dt)]$$

dla kroku poprzedniego =

$$u(t) = u(t-dt) + v(t-dt)dt + dt^2/2 [(1-2\beta)a(t-dt) + 2\beta a(t)]$$

dla kroku poprzedniego =

$$v(t) = v(t-dt) + dt [(1-\gamma)a(t-dt) + \gamma a(t)]$$

$$u(t) = u(t-dt) + v(t)dt + dt^2/2 [(1-2\beta)a(t-dt) + 2\beta a(t)] - dt^2 [(1-\gamma)a(t-dt) + \gamma a(t)]$$

$$u(t) = u(t-dt) + v(t)dt + dt^2/2 [(2\gamma - 2\beta - 1)a(t-dt) + (2\beta - 2\gamma)a(t)]$$

$$u(t-dt) = u(t) - v(t)dt - dt^2/2 [(2\gamma - 2\beta - 1)a(t-dt) + (2\beta - 2\gamma)a(t)] \quad (*)$$

dodamy stronami gwiazdki



$$u(t+dt) = u(t) + v(t)dt + dt^2/2 [(1-2\beta)a(t) + 2\beta a(t+dt)]$$

+ stronami

$$u(t-dt) = u(t) - v(t)dt + dt^2/2 [(-2\gamma + 2\beta + 1)a(t-dt) + (2\gamma - 2\beta)a(t)]$$

↓ skasujemy prędkość

$$u(t-dt) + u(t+dt) = 2u(t) + dt^2/2 [2\beta a(t+dt) + (1-4\beta + 2\gamma)a(t) + (-2\gamma + 2\beta + 1)a(t-dt)]$$

$$u(t+dt) = 2u(t) - u(t-dt) + dt^2 [\beta a(t+dt) + (1/2 - 2\beta + \gamma)a(t) + (-\gamma + \beta + 1/2)a(t-dt)]$$

algorytm Newmark = wersja położeniowa, dwa parametry  $\gamma, \beta$

dla porównania Verlet położeniowy

$$u(t + dt) = dt^2 \frac{\partial^2 u}{\partial x^2} + 2u(t) - u(t - dt)$$

wagi przy przyspieszeniu:  $\beta + 1/2 - 2\beta + \gamma - \gamma + \beta + 1/2 = 1$

(wszystkie wybory dają schemat, który w granicy małego  $dt$  redukuje się do Verleta)

Newmark sprowadza się do Verleta gdy  $\gamma = 1/2$ ,  $\beta = 0$  (maks dokładność

lokalny błąd czwartego rzędu)

rola  $\gamma, \beta$  – zobaczymy jak się sprawdzają w praktyce

$$u(t+dt) = 2u(t) - u(t-dt) + dt^2 [\beta a(t+dt) + (1/2 - 2\beta + \gamma) a(t) + (-\gamma + \beta + 1/2) a(t-dt)]$$

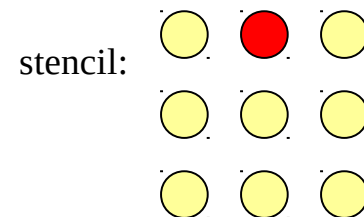
$$u(t+dt) = 2u(t) - u(t-dt) + dt^2 [\beta a(t+dt) + \alpha a(t) + \delta a(t-dt)]$$

jak wykonać krok czasowy?

sposób rozwiązywania zależy od wyrażenie na  $a$   
dla struny:

$$U_j^{n+1} = 2U_j^n - U_j^{n-1} + \frac{dt^2}{dx^2} \left[ \beta \left( U_{j+1}^{n+1} + U_{j-1}^{n+1} - 2U_j^{n+1} \right) + \alpha \left( U_{j+1}^n + U_{j-1}^n - 2U_j^n \right) + \delta \left( U_{j+1}^{n-1} + U_{j-1}^{n-1} - 2U_j^{n-1} \right) \right]$$

Po przegrupowaniu wyrazów:  
układ równań liniowych z macierzą trójkątniową

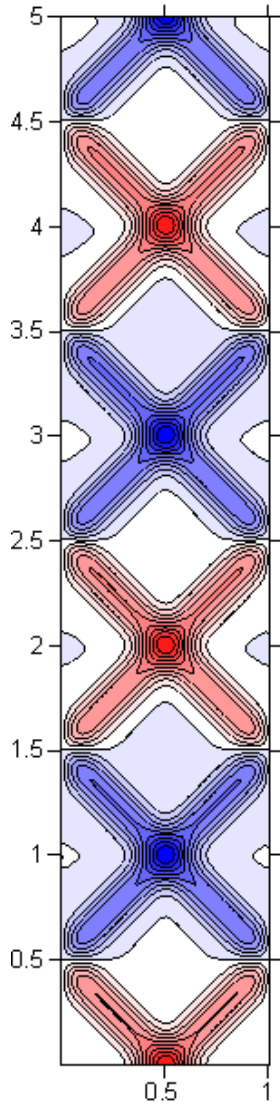


# schemat Newmark MRS, struna

dt=dx

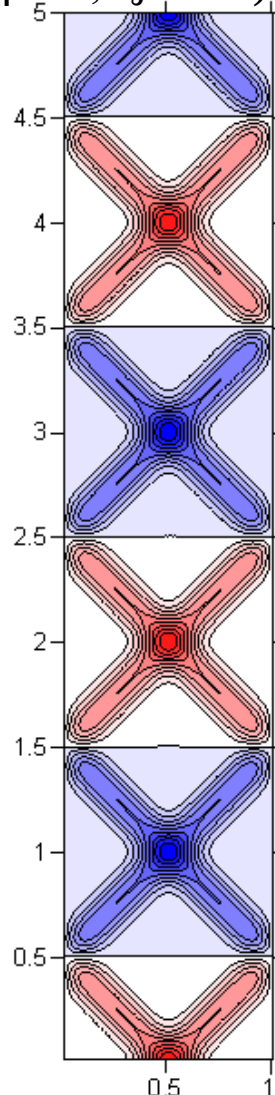
101 węzłów

dokładny

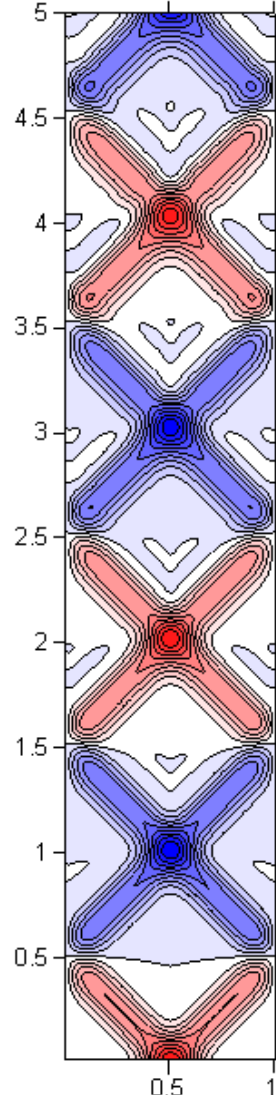


Verlet

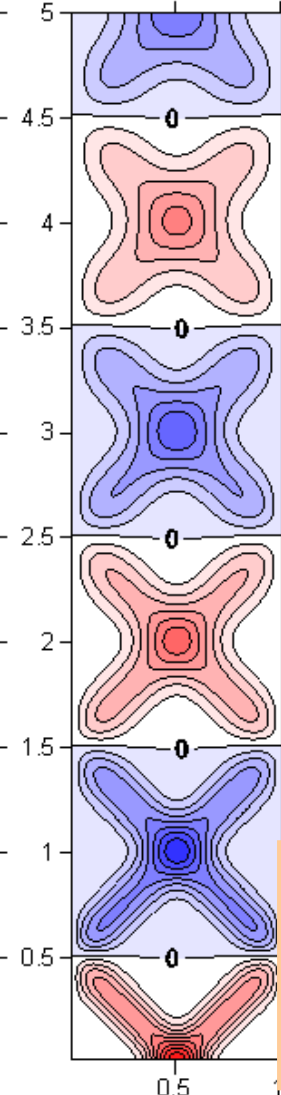
( $\beta=0, \gamma=1/2$ )



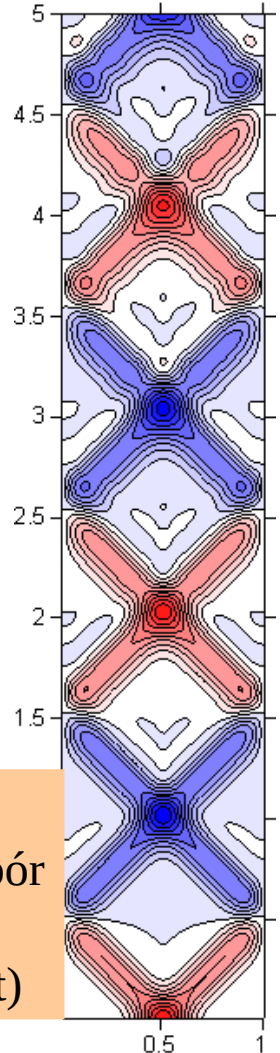
( $\beta=1/2, \gamma=1/2$ )



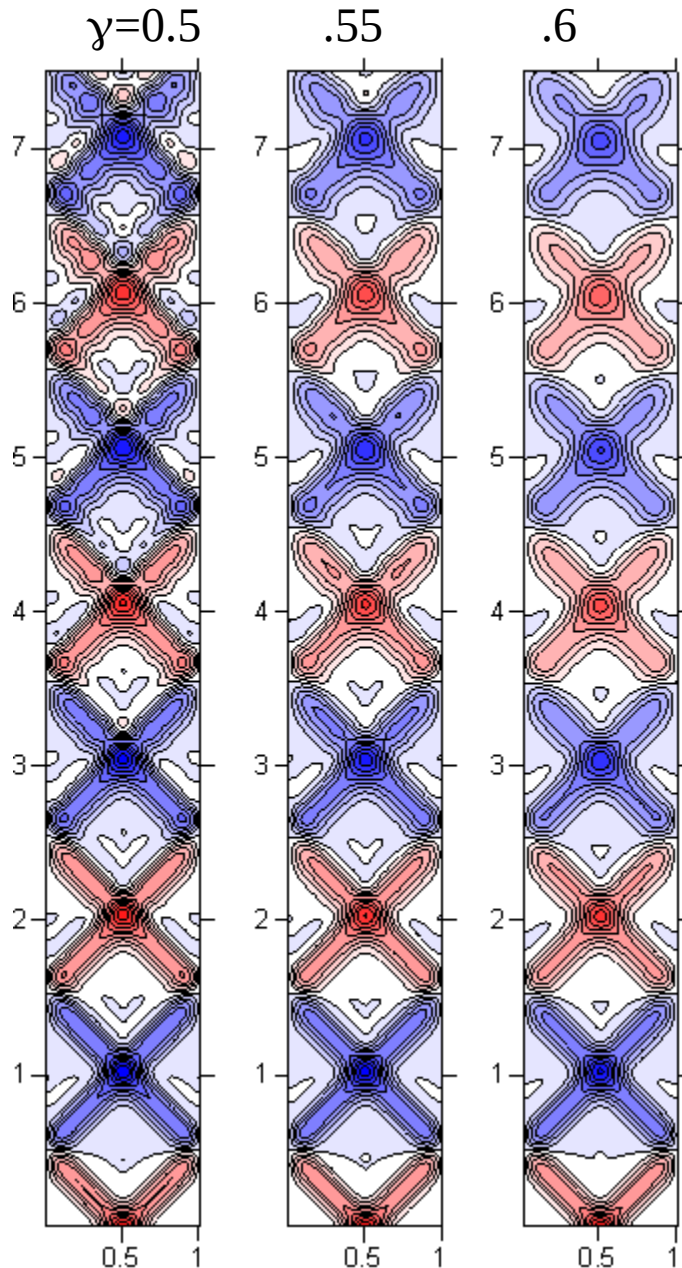
( $\beta=1/2, \gamma=1$ )



$\beta=.9$   
 $\gamma=1/2$



dla dt=dx  
najlepszy wybór  
 $\beta=0, \gamma=1/2$   
(jawny, Verlet)

rola  $\gamma$  ( $dt=1.5dx$ ,  $\beta=0.5$ )

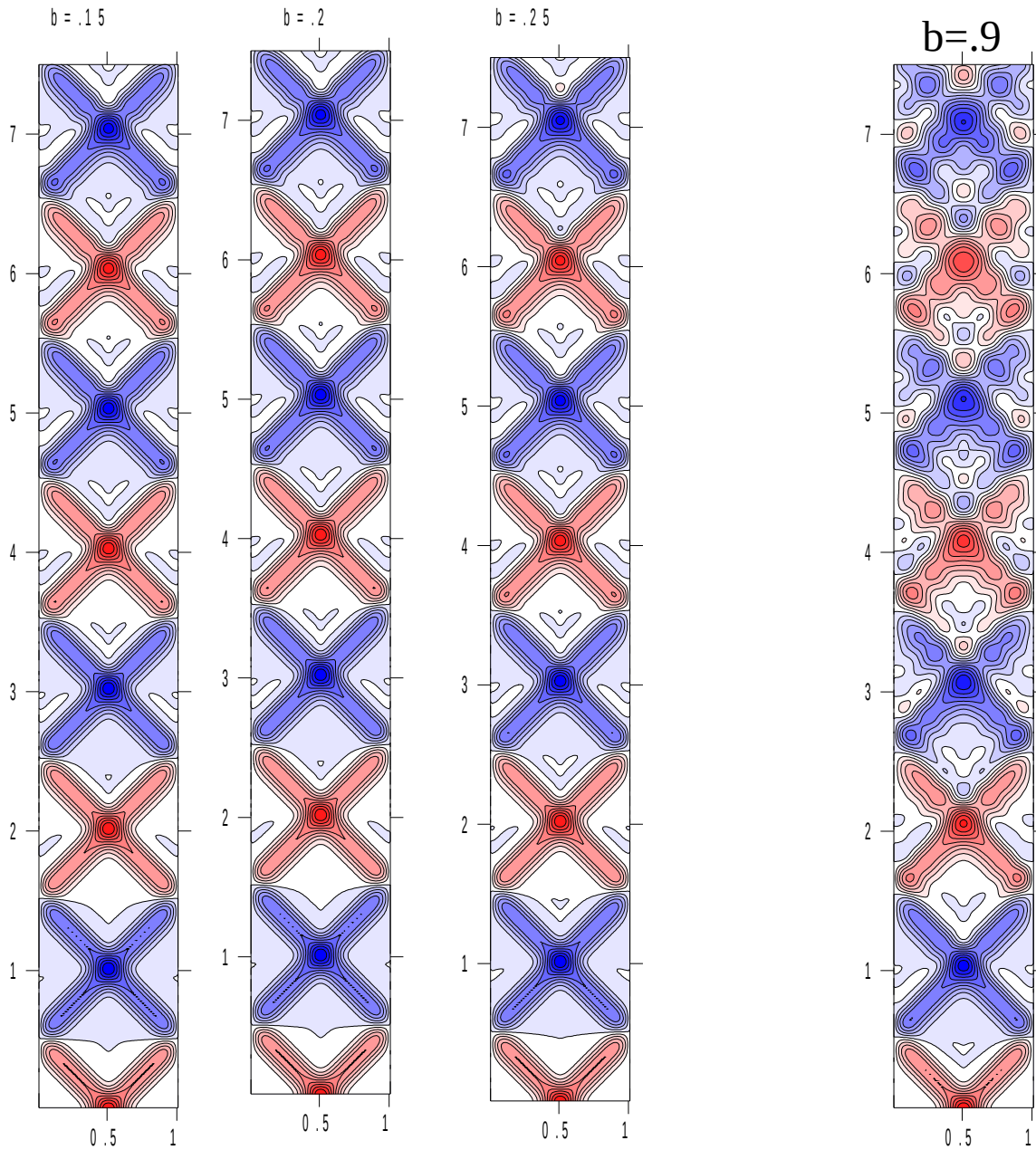
MRS: schemat Newmark  
rola parametrów metody

$\beta > 0$  – wynosi stabilność poza kryterium CFL,  
kosztem generacji wyższych częstotliwości  
przestrzennych

$\gamma > 1/2$  ogranicza  
wzmacnianie  
wyższych częstotliwości  
kosztem dyssypacji  
(zaniku całego pakietu)

$\gamma < 1/2$  – s. niestabilny

zostawmy  $\gamma=1/2$   
i manipulujmy beta

poza CFL:  $dt > cdx$  $dt=1.5dx$ , $\gamma=0.5$ , schemat staje się stabilny dla  $\beta > 0.15$ 

**rosnące beta generuje  
wyższe częstotliwości  
wniosek:  
najlepszy minimalne  
 $\beta$  przy którym  
schemat jeszcze stabilny**

czy można je wyznaczyć  
analitycznie?

## Projektowanie schematu Newmarka dla zadanego kroku czasowego.

dobrac minimalne  $\beta$  aby metoda była stabilna dla danego  $dt$  ?

Będziemy wiedzieli, że po wyższe  $\beta$  nie warto sięgać.

analiza von Neumanna dla  $\gamma=1/2$

$$u(t+dt) = 2u(t) - u(t-dt) + dt^2 [\beta a(t+dt) + (1/2 - 2\beta + \gamma)a(t) + (-\gamma + \beta + 1/2)a(t-dt)]$$

$$u(t+dt) - dt^2 \beta a(t+dt) = 2u(t) - u(t-dt) + dt^2 [(1 - 2\beta)a(t) + \beta a(t-dt)]$$

Ansatz von Neumanna:

$$A_k^n = \lambda^{n+1} A_k^0$$

$$\lambda^2 \left[ 1 - 2\beta \frac{dt^2}{dx^2} (\cos(k\Delta x) - 1) \right] = 2\lambda - 1 + \frac{dt^2}{dx^2} \left[ \lambda(1 - 2\beta)2 (\cos(k\Delta x) - 1) + \beta 2 (\cos(k\Delta x) - 1) \right]$$

$$\lambda^2 \left[ 1 - 2\beta \frac{dt^2}{dx^2} c \right] = 2\lambda - 1 + \frac{dt^2}{dx^2} \left[ \lambda(1 - 2\beta)2c + \beta 2c \right]$$



$$\lambda^2 \left[ 1 - 2\beta \frac{dt^2}{dx^2} c \right] = 2\lambda - 1 + \frac{dt^2}{dx^2} [\lambda(1 - 2\beta)2c + \beta 2c]$$

$$\lambda^2 \left[ 1 - 2\beta \frac{dt^2}{dx^2} c \right] - 2\lambda \left[ 1 + (1 - 2\beta) \frac{dt^2}{dx^2} c \right] + 1 - 2\beta \frac{dt^2}{dx^2} c = 0$$

$$\Delta = 4 \left[ 1 + (1 - 2\beta) \frac{dt^2}{dx^2} c \right]^2 - 4 \left[ 1 - 2\beta \frac{dt^2}{dx^2} c \right]^2$$

$$\Delta = 4 \frac{dt^2}{dx^2} c \left( 2 + \frac{dt^2}{dx^2} c - 4\beta \frac{dt^2}{dx^2} c \right)$$

$$\lambda = \frac{1 + (1 - 2\beta) \frac{dt^2}{dx^2} c \pm \frac{dt}{dx} \sqrt{c \left( 2 + c \frac{dt^2}{dx^2} - 4\beta \frac{dt^2}{dx^2} c \right)}}{1 - 2\beta c \frac{dt^2}{dx^2}}$$

Sytuacja będzie taka: dopóki  $\Delta < 0$  : 2 pierwiastki, o module nie większym od 1  
 gdy  $\Delta > 0$  metoda stanie się niestabilna

$$\lambda = \frac{1 + (1 - 2\beta) \frac{dt^2}{dx^2} c \pm \frac{dt}{dx} \sqrt{c(2 + c \frac{dt^2}{dx^2} - 4\beta \frac{dt^2}{dx^2} c)}}{1 - 2\beta c \frac{dt^2}{dx^2}}$$

$-2 < c < 0$  zawsze

żeby dwa urojone:

$$2 + \frac{dt^2}{dx^2} c(1 - 4\beta) > 0 \quad \longrightarrow \quad \beta > \frac{1}{4} + \frac{1}{2c \frac{dt^2}{dx^2}}$$

$|\lambda|^2 < 1$  ?

daje ten sam wynik

$$\beta > \frac{1}{4} + \frac{1}{2c \frac{dt^2}{dx^2}}$$

$\beta > 1/4$  – metoda stabilna dla dowolnego  $t$  [ ponieważ  $c < 0$  ]

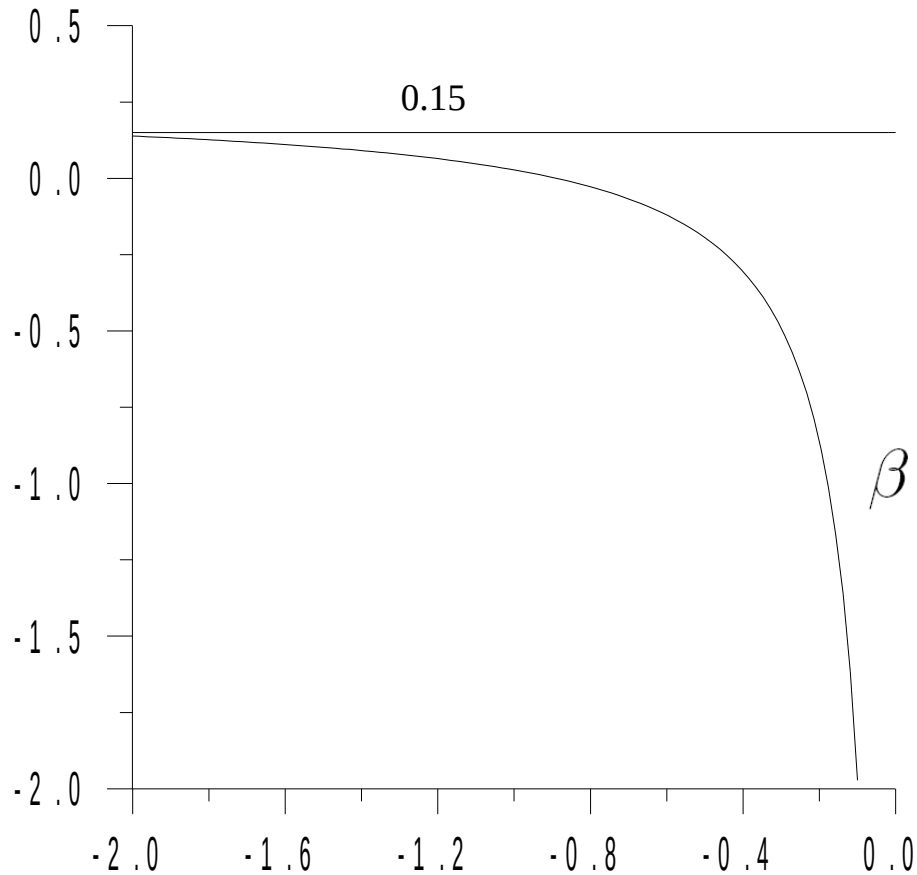
uwaga: możemy sobie teraz

sprawdzić stabilność Verleta dla  $dt=dx$  oraz  $\beta=0$ ,  $1/4 + 1/(2c) < 0$  [ok.]



dobór beta zapewniającego  
stabilność schematu Newmark  
w MRS dla zadanego kroku czasowego

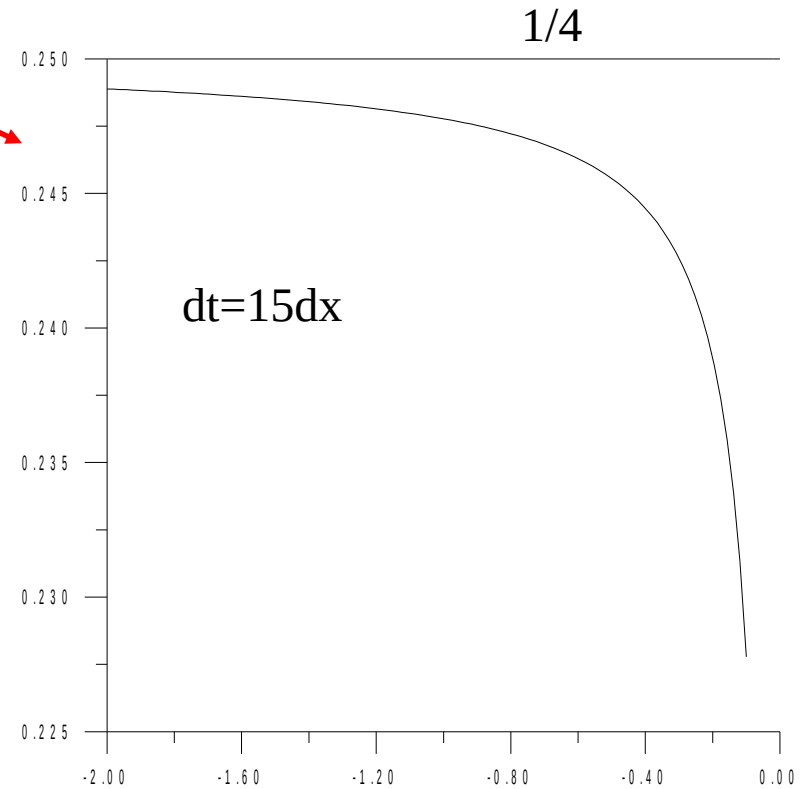
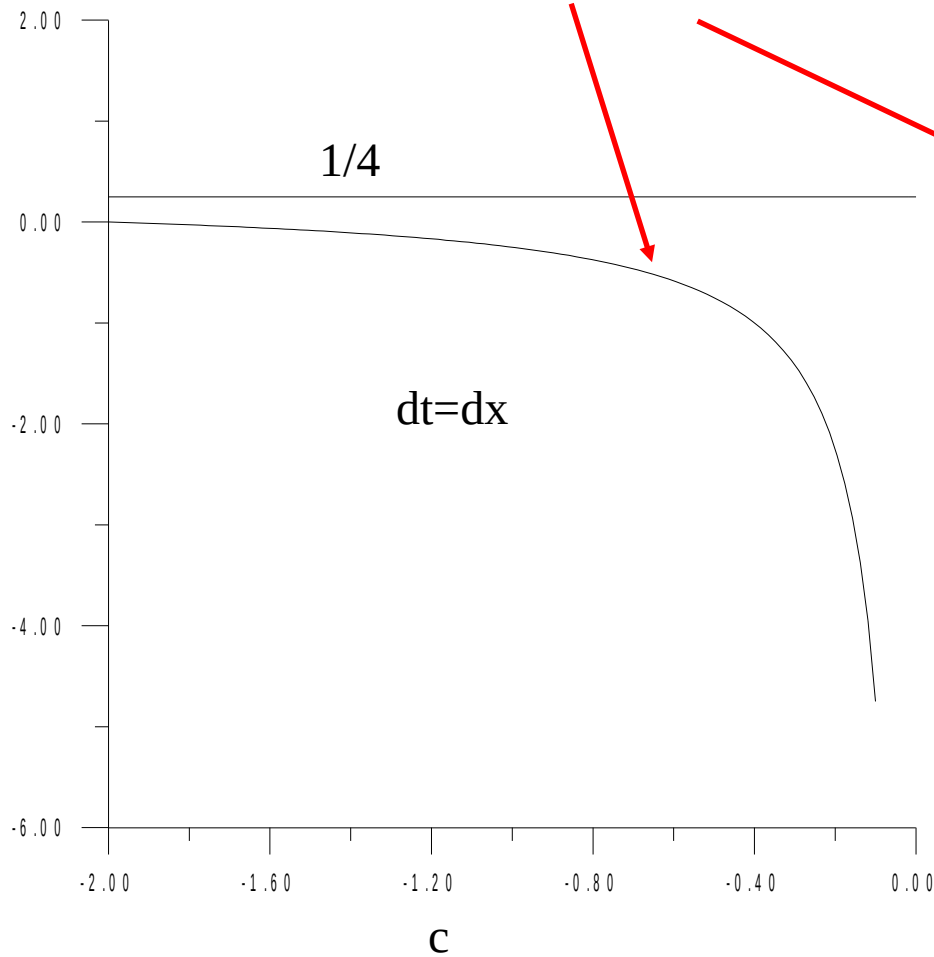
dt=1.5 dx



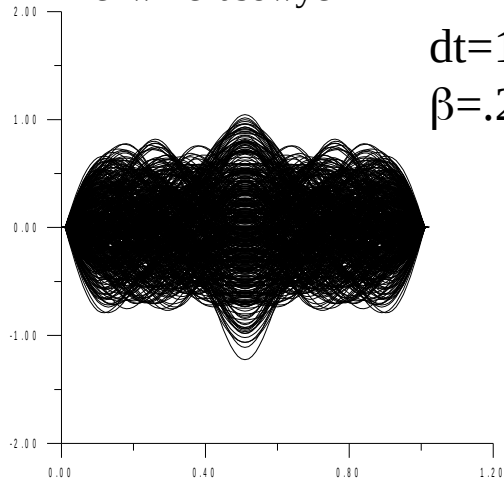
$$\beta > \frac{1}{4} + \frac{1}{2c \frac{dt^2}{dx^2}}$$

$$\beta > \frac{1}{4} + \frac{1}{2c \frac{dt^2}{dx^2}}$$

dobór beta zapewniającego  
stabilność schematu Newmark  
w MRS dla danego kroku czasowego



struna, b. wiele  
chwil czasowych



$dt=15dx$   
 $\beta=.25$

MRS, Newmark,  $\gamma=1/2$

bo beta była zbyt mała:

